

Vysoká škola: strojní a textilní Liberec Katedra: obrábění a organizace
Fakulta: strojní Školní rok: 1962/63

DIPLOMNÍ ÚKOL

pro s. Stanislava Zavřela
obor strojírenská technologie

Protože jste splnil požadavky učebního plánu, zadává Vám vedoucí katedry ve smyslu směrnic ministerstva školství a kultury o státních závěrečných zkouškách tento diplomní úkol:

Název thematu: Absolutní průběh řezných sil na těžkých přerušených řezech.

Pokyny pro vypracování:

- 1/ Význam studia řezných sil u přerušených řezů, vzhledem na trvanlivost nástrojů ze slinutých karbidů.
- 2/ Metody měření rychle proměnných sil, registrace průběhu. Problémy dynamických měření.
- 3/ Stanovení vlastní frekvence dynamometru.
- 4/ Konstrukce cejchovacího zařízení pro třísložkový dynamometr.
- 5/ Aplikace piesosnímace pro složku P_z - registrace dějů.
- 6/ Charakter prvního styku mezi nástrojem a obrobkem a jeho vliv na průběh řezných sil.
- 7/ Zhodnocení provedených měření.

V 105 | 1963 S

Rozsah grafických laboratorních prací: 8 výkresů, diagramy, schéma

Rozsah průvodní zprávy: 50 stran

Seznam odborné literatury:

Okunshims K: Transitional Phenomenon in Metal Cutting, foto KOO

Berthold: Das Messen der Schnittkräfte beim Drehen, foto KOO

Kuklin: Povysení je prochnosti i iznosostojnosti tverdosplavnogo instrumenta.

Kacmarek: Badania szybkości obcinania ostrza walcującego się w material przy frezowaniu czołowym, foto KOO

Vedoucí diplomní práce: Prof. inž. František Kříštek

Konsultanti: Inž. Jan Šálek

Datum zahájení diplomní práce: 10. června 1963

Datum odevzdání diplomní práce: 20. července 1963



 Vedoucí katedry

 Dekan

v Liberci

dne 6. května

1963

VŠST LIBEREC

DP-ST-179/63

DP — STR.

20. ČERVENCE 1963

Stanislav Zavřel

ABSOLUTNÍ PRŮBĚH ŘEZNÝCH SIL NA TEŽKÝCH
PŘERUŠENÝCH ŘEZECH

Kutovníkovo právo se vidi směnici MŠK pro státní
zákony z houšky č. 115/1962 Sb. ze dne
1. července 1962 ve znění zákona č. 115/1963 Sb.
31.8.1962 § 19 autorského zákona č. 115/1963 Sb.

Obsah

Úvod	str. 3
Zbytková napětí ve slinutém karbidu	str. 6
Řezné síly na plynulém řezu	str. 7
Řezné síly na přerušených řezech	str. 10
Vliv teploty	str. 11
Vliv obklopujícího prostředí	str. 11
Působení řezné síly	str. 12
Silový ráz	str. 13
Dynamické měření sil	str. 17
Použité přístroje	str. 19
Konstrukce cejchovacího zařízení	str. 22
Naměřené hodnoty	str. 29
Aplikace piezosnímače na složku P_z	str. 38
Provedená měření	str. 43
Výsledky měření	str. 46
Zhodnocení provedených měření	str. 52
Závěr	str. 54
Literatura	str. 55

VŠST LIBEREC	Absolutní měření sil na přerušených řezech	DP — STR. 3
DP-ST-179/63		20. ČERVENCE 1963

Stanislav Žavřel

Úvod:

Plán rozvoje československého hospodářství je zaměřen na hlavní cíl naší společnosti, na vytvoření materiální základny pro přechod ke komunismu. Nutným předpokladem je mohutný rozvoj výroby všech odvětví našeho průmyslu, zvláště pak strojírenství, které se podílí největším dílem na naší celkové průmyslové výrobě. Souběžně s růstem objemu výroby musí být zdokonalována celková technická, technologická a organizační stránka strojírenské výroby.

Podmínkou rozvoje strojírenské výroby je stálé zvyšování produktivity práce při současném snižování vlastních nákladů. V.I. Lenin ve své práci "Velká iniciativa" napsal: "Produktivita práce je nakonec to nejdůležitější a hlavní pro vítězství nového socialistického rádu. Kapitalismus vytvořil produktivitu práce za feudalismu nevidanou, kapitalismus může být a bude definitivně poražen tím, že socialismus vytvoří mnohem vyšší produktivitu práce."

Zvyšování produktivity práce klade zvýšený důraz na dokonalé využití materiálů z hlediska jejich mechanických vlastností, prodloužení životnosti nástrojů snížením jejich opotřebení a pod. Abychom mohli dosáhnout v procesu třískového obrábění opravdu optimálních podmínek, je třeba znát všechny druhy namáhání, které v průběhu řezání na nástroj působí.

Bez znalostí všech teoretických zákonitostí ovlivňujících řezání a bez zvládnutí metod umožňujících přesné proměření všech vlivů působících při obrábění na nástroj i stroj, nebyl by možný další vývoj dokonalejších obráběcích strojů i nástrojů. Proto musí každé nové technologii procesu obrábění předcházet dokonalý vědecký výzkum. Na př. přesné znalosti hodnot řezných sil se uplatňují při návrzích a výpočtech nových strojů, slouží při stanovení řezných podmínek, při určení vhodného nástroje a pod.

Snaha po neustálém zvyšování produktivity obrábění se projevuje stoupajícími požadavky jak na obráběcí stroje, tak i na vlastnosti nástrojů. Zvětšování řezných rychlostí je omezeno tím, že i přes vysokou řezivost současných nástrojových materiálů má za následek podstatný pokles trvanlivosti břitu. Jiná možnost zvětšení produktivity spočívá v odebírání velkých průřezů třísky při velkém posuvu. To však vyvolává vyšší namáhání nástrojů řeznými odporů. Proto končí značné procento nástrojů lomem břitu, nebo břitových destiček. Procento nedokonale využitých nástrojů, které byly zničeny vnějšími příčinami je zvlášt vysoké při obrábění za obtížných řezných podmínek. Mezi tyto obtížné podmínky patří také obrábění s přerušovaným řezem. V tomto případě je nástroj namáhán rázem a toto rázové namáhání je značně vyšší než obvyklý řezný odpor při plynulém

VŠST LIBEREC DP-ST-179/63	Absolutní měření sil na přerušených řezech	DP — STR. 5 20. ČERVENCE 1963 Stanislav Zavřel
<p>řezu. Tyto okolnosti jsou zvláště významné při použití slinutých karbidů jako řezného materiálu. Jejich pevnost v ohybu je několikrát nižší než pevnost rychlořezných ocelí. Naopak zase značně vyšší řezivost slinutých karbidů podstatně zvyšuje produktivitu. Proto dochází k intenzivnímu rozvoji slinutých karbidů používaných na řezné nástroje, zejména ke zvyšování jejich hověznatosti.</p> <p>Dobrých výsledků lze však dosáhnout i s nynějšími slinutými karbidy, učiní-li se vhodná opatření, vyplývající z rozboru záběrových podmínek.</p> <p>K tomuto účelu je zaměřena také tato diplomová práce, jejímž úkolem je právě výzkum řezných sil působících na nástroj ze slinutého karbidu při těžkém přerušeném řezu.</p>		

Zbytková napětí ve slinutém karbidu

Nejdříve je třeba všimnout si stavu nástroje ze slinutého karbidu ještě před začátkem řezání. Již v tomto stavu jsou v něm zbytková napětí, která vznikla při pájení plátku ze slinutého karbidu na ocelový držák a při ostření.

Při pájení se nástroj zahřeje na teplotu $1000 - 1200^{\circ}\text{C}$, což je teplota vyšší než teplota přeměny oceli. Ochlazováním dojde v ocelovém držáku k přeměně austenitu na ferit a perlit. Ze všech struktur oceli má austenit nejménší objem, proto se při ochlazování přes teplotu přeměny zvětší objem držáku. Ve slinutém karbidu nedochází při těchto teplotách k žádné strukturní přeměně, takže po ochlazení zůstanou ve slinutém karbidu tahová napětí.

Při ostření se zahřívají na vysokou teplotu povrchové vrstvy slinutého karbidu, zatím co vrstvy vzdálenější od povrchu se zahřívají na teplotu podstatně nižší, která se zmenšuje s rostoucí vzdáleností od povrchu. Se světšující se teplotou se materiál roztahuje, takže v povrchových vrstvách vznikou tlaková napětí, ve vzdálenějších vrstvách napětí tahová. Při vysokých teplotách se však již projevuje jistá plasticita slinutého karbidu, takže v povrchových vrstvách dojede k plastické deformaci.

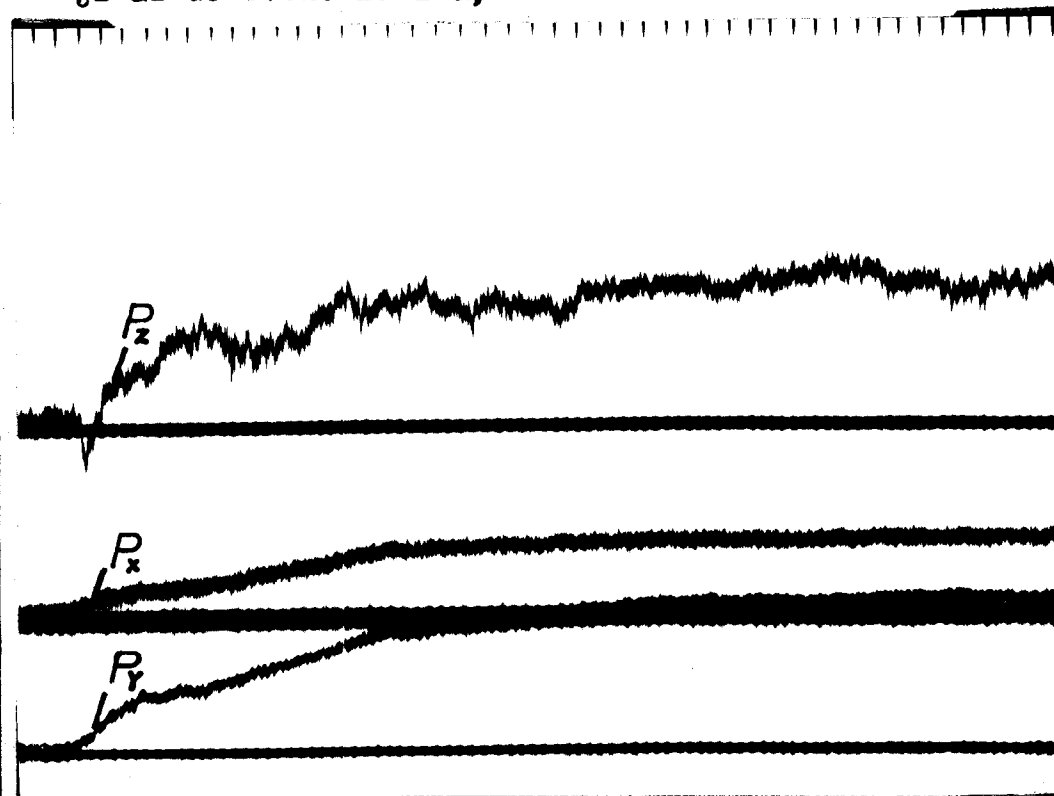
Po ochlazení zůstane v povrchových vrstvách tahové napětí.

Poněvadž slinutý karbid má v tahu mez pevnosti asi pětkrát nižší než v tlaku, [3] mohou být zbytková tahová napětí v některých případech vyšší než mez pevnosti, což může mít za následek vznik trhlin.

Řezné síly na plynulém řezu

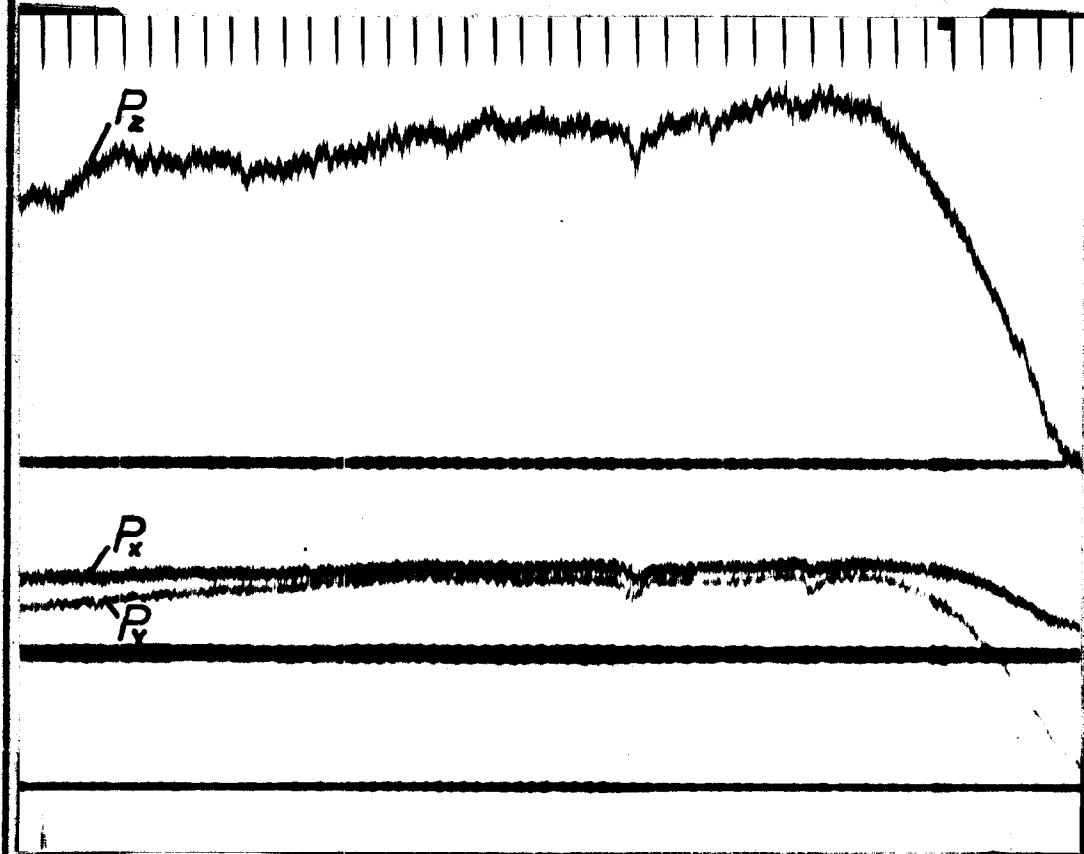
Při plynulém řezání teplota na začátku řezání stoupne za 5 - 10 sec [5] stoupne na určitou hodnotu kde se ustálí a během řezání se již nemění. Změní se teprve se vzrůstem opotřebení nástroje.

Řezné síly na počátku řezání pozvolna narůstají až do svého maxima, kde se ustálí. /obr. 1/ *unr. 2*



Obr. 1

Po odlehčení klesnou řezné síly opět postupně na nulu. /obr. 2/. Kmitání řezných sil, které se zde



Obr. 2

Obr. 2 Pokles řezných sil po odlehčení plynulého řezu.

projevuje, je způsobeno jak vlastním, tak i vynuceným chvěním nože. Velikost řezné síly je závislá jednak na druhu obráběného materiálu, jednak na řezných podmírkách. Na obr. 3 jsou diagramy průběhu velikostí řezných sil v závislosti na řezných podmírkách naměřené třísložkovým dynamometrem VUOSO.

*úprava
spojení
kliky*

VŠST LIBEREC

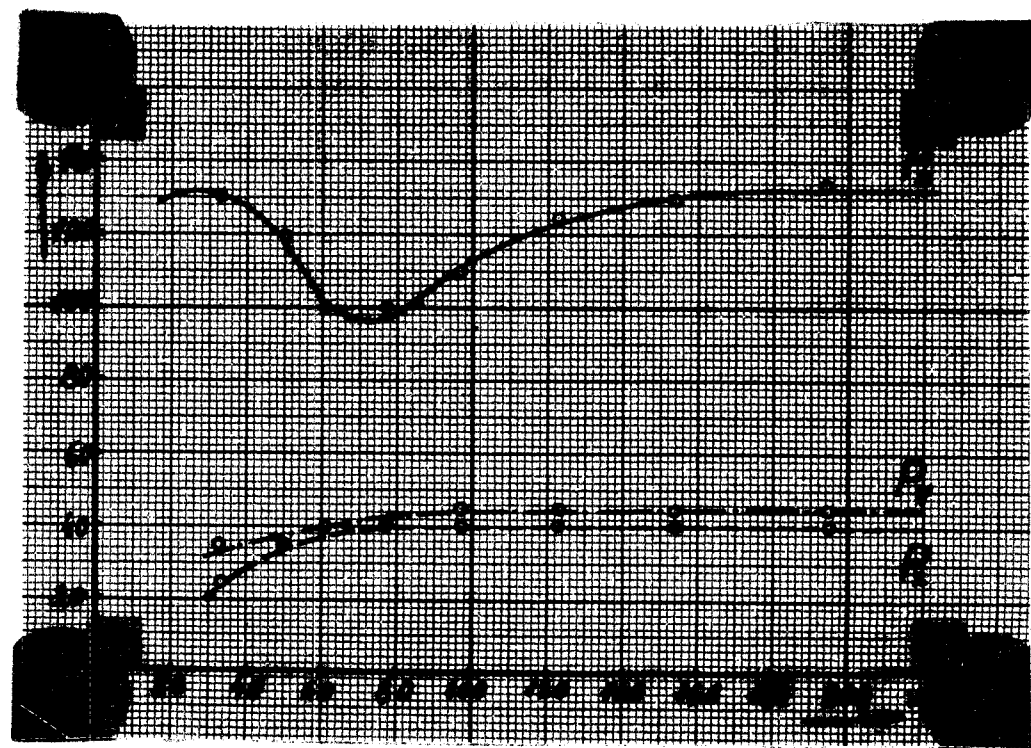
DP-ST-179/63

Absolutní měření sil
na přerušených řezech

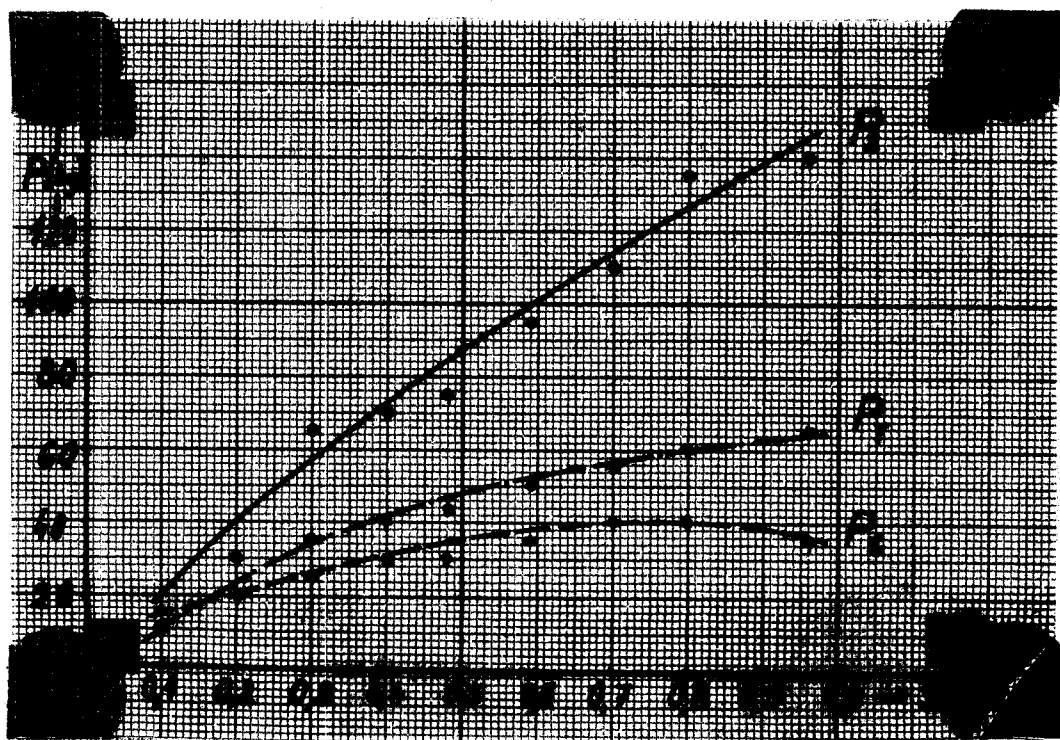
DP — STR. 9

20. ČERVENCE 1963

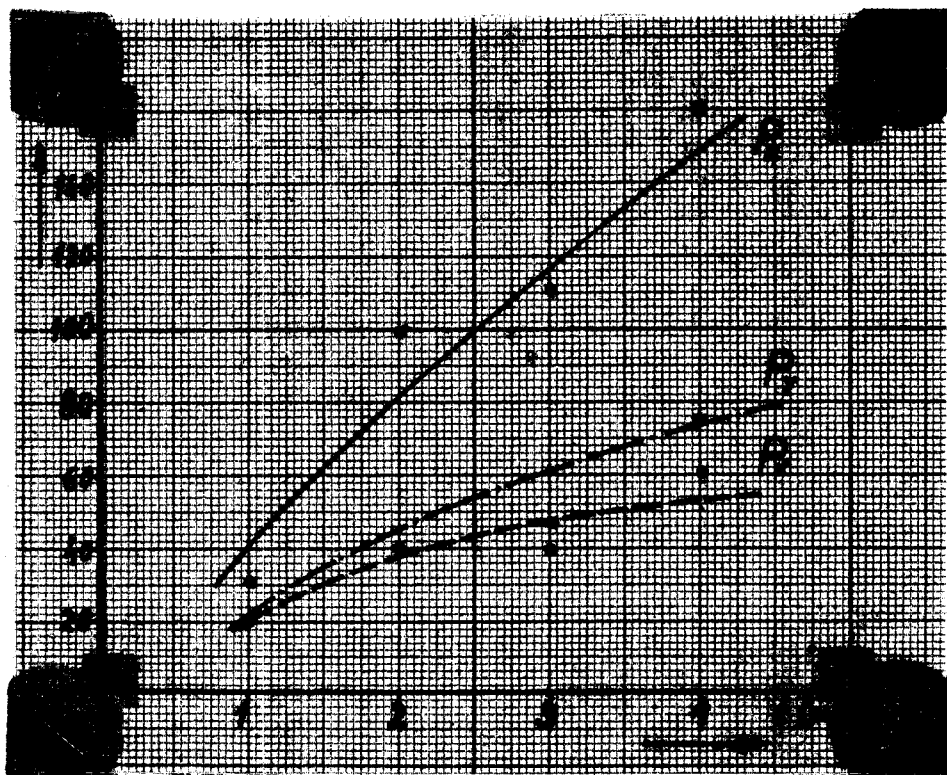
Stanislav Zavřel



Obr. 3a



Obr. 3b



Obr. 3c

Obr. 3 Průběh řezných sil v závislosti na řezných podmírkách

Materiál 12060

Nástroj ČSN 3713 S2 20x20

a/ $P = f / v$ $s = 0,2 \text{ mm/ot}$, $t = 2 \text{ mm}$

b/ $P = f / s$ $v = 61 \text{ m/min}$ $t = 1 \text{ mm}$

c/ $P = f / t$ $v = 61 \text{ m/min}$ $s = 0,2 \text{ mm/ot}$

Řezné síly na přerušených řezech

Zcela jiné poměry než u řezu plynulého nastanou u řezu přerušeného. Je to vlivem:

- 1/ kolísavého průběhu teploty
- 2/ obklopujícího prostředí
- 3/ pulsující řezné síly
- 4/ silového rázu

1/ Vliv teploty

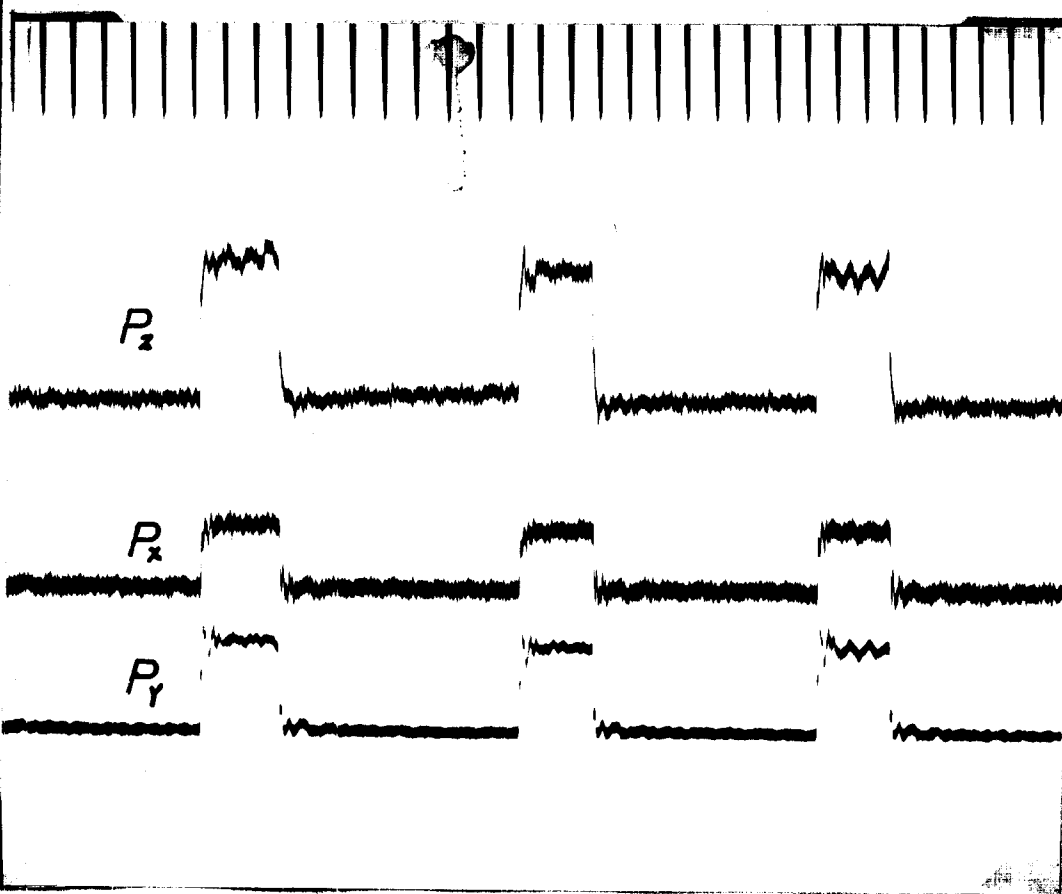
Teplota při řezání dosáhne velmi prudce svého maxima a během přerušení nastane opět velmi prudké ochlazení vlivem přístupu obklopujícího prostředí. Pokles teploty při přerušení řezu je dán jednak fyzikálními vlastnostmi slinutého karbidu a obklopujícího prostředí, jednak vzájemným poměrem periody přestávky a periody řezání. Čím delší je perioda přestávky, tím vyšší je kolísání teplot. To má za následek silná vnitřní pnutí ve slinutém karbidu, která se skládají s napětím způsobeným řeznou silou a zbytkovým napětím ve slinutém karbidu, a vedou k intenzivnímu opotřebení v podobě makro- i mikrotrhlin.

2/ Vliv obklopujícího prostředí

Jelikož je při plynulém řezání omezena možnost přístupu vzdušného kyslíku k zahřátým plochám břitu, vznikají na těchto plochách oxydy jen výjimečně. Oproti tomu u přerušených řezu v okamžiku přerušení má vzdušný kyslík volný přístup k břitovým plochám zahřátým na vysokou teplotu. Tím vznikne oxydická vrstva, která se v periodě řezání působením řezné síly rozruší a unese třískou a obrobkem. [5] Stálým opakováním tohoto jevu se urychlí proces opotřebení.

3/ Působení řezné síly

Oproti plynulému řezání, kde řezná síla narůstá postupně, u přerušeného řezání dosáhne řezná síla téměř okamžitě svého maxima a v okamžiku přerušení ihned klesne na nulu. V konkrétním případě našeho měření dosáhne řezná síla během jedné otáčky dvakrát svého maxima a dvakrát opět klesne na nulu. /obr. 4/



Obr. 4

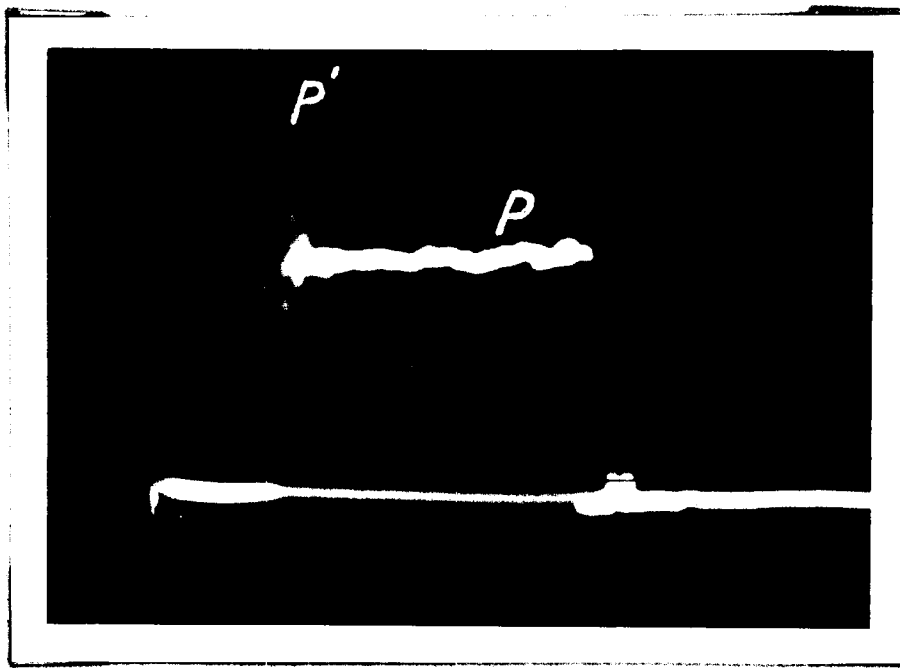
Obr. 4 Průběh řezné síly u přerušeného řezu

Toto proměnné pulsující zatížení vede k únavě materiálu slinutého karbidu a tím k snížení jeho

trvanlivosti.

4/ Silový ráz

Dalším faktorem působícím při přerušeném řezání je silový ráz na počátku záběru. Řezná síla ihned po prvním dotyku nástroje s obrobkem dosáhne své maximální hodnoty P' , pak klesne na nižší hodnotu P , kde se ustálí a v okamžiku přerušení klesne na nulu./obr.5/



Obr. 5

Obr. 5 Silový ráz na počátku záběru

Tento jev nelze vysvětlit rázem dvou pružných těles, protože nástroj se při rázu prakticky nepohybuje a také obrobek svou rychlosť nezmění. Kuklin [3] vysvětluje tento jev růstem meze kluzu při dynamic-kém zatížení oproti zatížení statickému. Při řezání

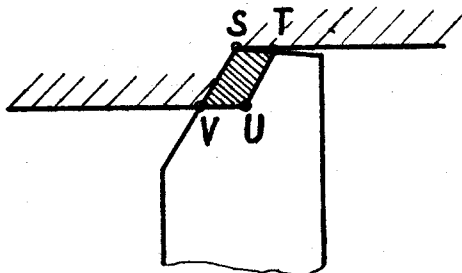
dochází nejprve k pružné deformaci za kterou následuje plastická deformace. Růstem dynamické meze kluzu rychle roste deformační odpor materiálu a výsledkem je krátkodobé zvýšení zatížení. Jakmile je dynamická meze kluzu překročena, nashromážděná pružná deformace přejde v plastickou, tím opět klesne řezný odpor a sníží se zatížení. Tento přechod trvá velmi krátce 10^{-5} sec.

Velikost rázu, ke kterému při soustružení s přerušeným řezem dochází při vnikání nože do obrobku je závislá na:

- 1/ geometrii břitu nástroje
- 2/ řezných podmínkách / řezné rychlosti,
hloubce řezu, posuvu /
- 3/ tvaru přerušení obrobku
- 4/ obráběném materiálu

Kromě těchto činitelů bude velikost silového rázu závislá ještě na dalších činitelích jako jsou na př. vyložení nástroje, tuhost upnutí, atd. [4, 6, 7]

V důsledku různé geometrie řezného nástroje a tvaru přerušení dochází k prvnímu dotyku čela nástroje s obrobkem také různě. Je možno devět způsobů prvního dotyku. Na obr. 6 je zakreslen průřez odebrané třísky na čele nástroje. První dotyk může nastat v bodech S, T, U, V, nebo může dojít k prvnímu dotyku v přímkách ST, UV, SV, UT, nebo k plošnému dotyku STUV v tom případě, když se v okamžiku záběru



Zámeček?

Obr. 6

Obr. 6 Průřez odebírané třísky na čele nástroje

ztotožní záběrová rovina s rovinou čela nože.

Tento způsob prvního dotyku podstatně ovlivňuje rychlosť zatěžování nože a tím velikost silového rázu. Kuklin [3] uvádí vztah

$$v_z = \frac{P'}{t_{def}} \quad (1)$$

v_z rychlosť zatěžování

P' maximální síla působící na nůž / silový ráz /

t_{def} ... čas od počátku dotyku nástroje s obrobkem až po dosažení dynamické meze kluzu

$$t_{def} = \frac{\delta_{kr}}{v_r} \quad (2)$$

δ_{kr} deformace v místě dotyku, při které se dosáhne meze kluzu

v_r relativní rychlosť pohybu obrobku vzhledem k nástroji

Foto Pro velmi tuhou soustavu je $v_r = v$ a $\frac{d}{dt}v$ velmi malé takže t_d je velmi krátké a tedy v_z velmi vysoká. Pro $t_d = 10^{-3}$ sec je udáván [3] poměr $\frac{P'}{P} = 2$. Při ještě vyšších rychlostech zatěžování se může tento poměr blížit ke třem.

Dynamické měření sil

Měřící přístroje pro měření sil je možno zhru-
ba dělit na mechanické a mechanicko-elektrické. Při
měření dynamického průběhu sil již nepostačují jedno-
duché methody mechanické, je proto nutné je kombino-
vat s metodami elektrickými. Je mnoho elektrických
principů, které ve spojení s mechanickými dávají mě-
řiče velmi citlivé a přesné, na př. princip induktivní,
kapacitní magnetostriktivní, piezoelektrický a pod. [1]

Nejvhodnější a také nejčastěji používané sní-
mače jsou odporové tensometrické pásky, pracující
na principu změny odporu s prodloužením podle vztahu

$$\frac{\Delta R}{R} = k \cdot \frac{\Delta l}{l} \quad (3)$$

$\frac{\Delta R}{R}$ poměrný přírůstek odporu

k konstanta závisející na materiálu odpo-
rového drátku

$\frac{\Delta l}{l}$ poměrné prodloužení /zkrácení/ tenso-
metrického pásku

Drátkové snímače se zapojují do obvodu můstku.
Poněvadž poměrné deformace ocelových součástí v me-
zích pružných deformací jsou velmi malé, je také
velmi malá hodnota $\frac{\Delta R}{R}$, prakticky jen několik de-
setin, nebo dokonce i setin procenta. Při tak malé
pracovní změně odporu snímače má velký význam teplo-

VŠST LIBEREC	Absolutní měření sil na přerušených řezech	DP — STR. 18 20. ČERVENCE 1963 Stanislav Zavřel
DP-ST-179/63		

ta při které snímač pracuje, protože změna odporu, vyvolaná změnou teploty o několik stupňů, je srovnatelná se změnou odporu vyvolanou měřenou deformací. Aby se odstranily chyby měření způsobené změnou teploty, přilopuje se na stejnou součást kde je přilepen snímač aktivní ještě snímač kompenzační, připojený do jiné větve můstku. Oba snímače tak pracují ve stejných teplotních podmínkách a změna odporu vyvolaná změnou teploty je v obou větvích můstku stejná, takže můstek i při změně teploty zůstane vyvážen.

Měřící přístroje musí být konstruovány tak, aby nepůsobily při měření svými účinky na měřené veličiny. U dynamometrů jde o požadavek vysoké tuhosti. Při nedostatečné tuhosti by dynamometr svou deformací působil na odebíranou třísku a tím i na měřenou řeznou sílu. Zvláště u dynamického měření by se málo tlukým dynamometrem změnila tuhost celého kmitavého systému a tím i frekvence a amplituda vzniklých kmitů, na nichž závisí měřené síly. Poněvadž odporové tensometry pracují na principu měření deformace způsobené měřenou silou je třeba, aby posuv nebo deformace pracovní části snímače byla co nejménší.

Na velikost naměřených řezných sil nesmí mít velký vliv vyložení nástroje, změna teploty, cejchování musí být bez hysterese a dále nesmí měřící přístroj pro dynamická měření zkreslovat měřený pochod, musí bez zpoždění zachytit každou změnu řezné síly.

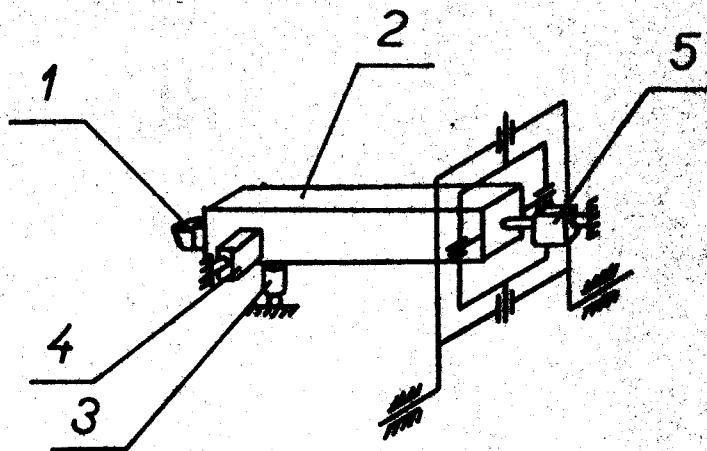
VŠST LIBEREC	Absolutní měření sil na přerušených řezech	DP — STR. 19
DP-ST-179/63		20. ČERVENCE 1963
Stanislav Zavřel		

Proto je nutná vysoká vlastní frekvence dynamometru, protože dynamometr může přesně zachytit jen takové frekvence, které jsou nižší než $1/5$ vlastní frekvence dynamometru. Pro třístožkové přístroje platí, že vlastní frekvence je ve všech třech směrech přibližně stejná. Berthold také uvádí, že měřící přístroj s malou vlastní frekvencí dává vyšší hodnoty řezných sil než jsou jejich hodnoty skutečné. Proto pro řezání nelegovaných ocelí při rychlosti $v = 0 - 300 \text{ m/min}$ a posuvu $s = 0 - 1\text{mm}/\text{ot}$ musí být vlastní frekvence vyšší než 3 kHz . [2]

Dynamometr se snímači se připojuje k tensometrické aparatuře, kde se proud procházející měřící větví můstku zesiluje. Pro možnost registrace celého průběhu řezných sil se tesometrická aparatura připojuje ke smyčkovému oscilografu, kde se průběh zaznamenává na oscilografický papír. Jiná možnost registrace je připojení osciloskopu k tensometrické aparatuře a fotografování, nebo filmování jeho obrazovky.

Použité přístroje

K měření řezných sil na přerušeném řezu byl použit třístožkový dynamometr VUOSO. Tento dynamometr je založen na principu kardanova kloubu, takže nožový držák se může volně pohybovat kolem všech tří os. Ve směrech působení řezných sil je nožový



Obr. 7

Obr. 7 Schematické znázornění třísložkového dynamometru VUOSO

- 1... nůž
2... nožový držák
3... měrná dóza složky P_z
4... měrná dóza složky P_x
5... měrná dóza složky P_y

Držák se může volně pohybovat kolem všech tří os.

Ve směrech působení řezných sil je nožový držák podepřen siloměrnými elementy /obr. 7/. Měrné elementy

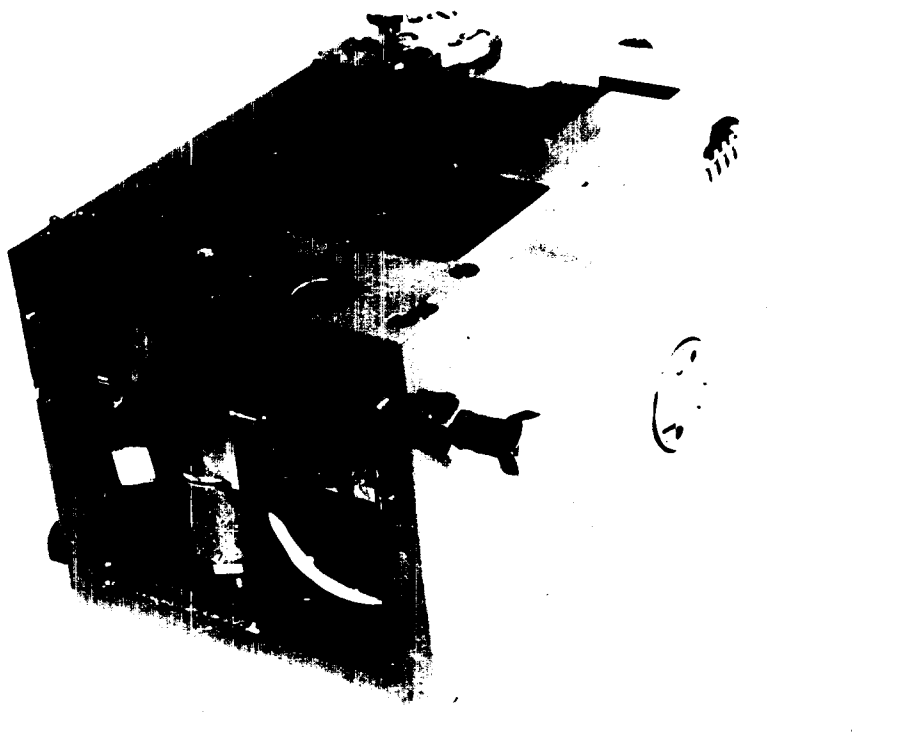
P_x a P_y jsou konstruovány na maximální zatížení 300kg, měrný element složky P_z na zatížení 1000kg.

Měrný element složky P_z je váleček Ø 20mm a délky 30mm. Na něm jsou nalepeny tensometrické pásky.

Poněvadž řezné síly při soustružení jsou zpravidla rozdeleny v poměru $P_z : P_y : P_x = 1 : 0,4 : 0,2$,

VŠST LIBEREC	Absolutní měření sil na přerušených řezech	DP — STR. 21
DP-ST-179/63		20. ČERVENCE 1963
Stanislav Zavřel		

byly pro zvětšení citlivosti složek P_x a P_y nalepeny tensometrické pásky na předepnuté planžety, které byly do měrných dóz zakolíkovány. Citlivost těchto složek je 3kg, složky P_z 10kg. Všechny měřící dózy jsou vybaveny dvěma tensometrickými snímači po 250Ω , aktivním a kompenzačním. Každý snímač je současně zapojen pro teplotní kompenzaci do jiné větve měřícího můstku. Od snímačů vedou vývody na svorkovnice, odtud pak stíněnými kably vedenými v pancéřované hadici měřící aparatuře. Vlastní měření se provádělo tímto třísložkovým dynamometrem /obr. 8/ spojeným



Obr. 8

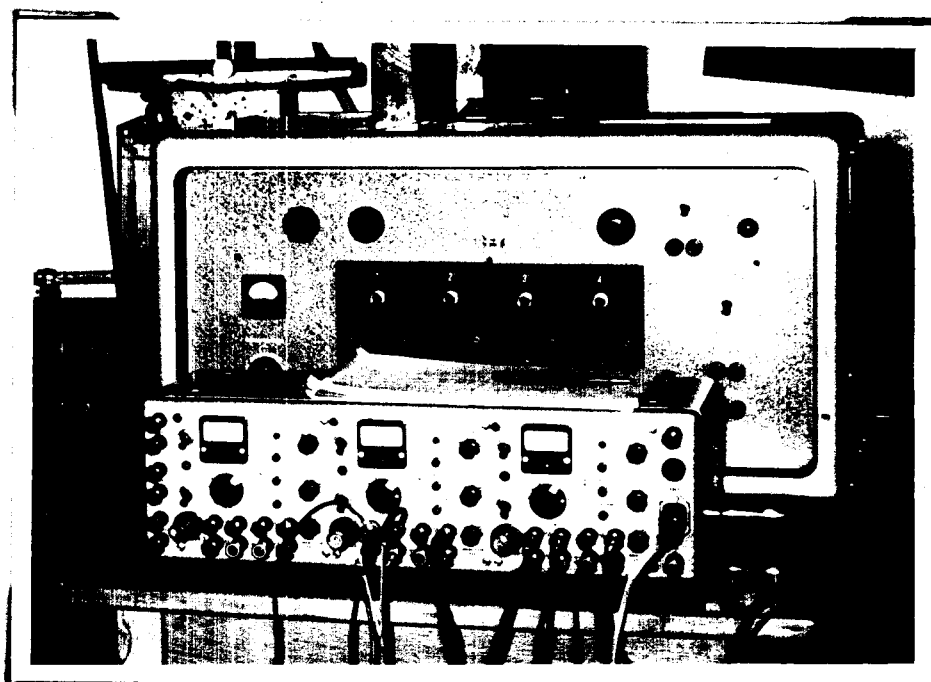
Obr. 8 Třísložkový dynamometr VUOSO

VŠST LIBEREC
DP-ST-179/63

Absolutní měření sil
na přerušených řezech

DP — STR. 22
20. ČERVENCE 1963
Stanislav Zavřel

s měřící tensometrickou aparaturou TDA-3 čís. 62041-2
s nosnou frekvencí 5000 Hz a čtyřsmyčkovým osciloskopem
4SO-1F2 typ č. 4621/2F2 /obr. 9/, výrobek RFT
VEB Messgerätewerk Zwönitz. Pro složku P_z byla použita
smyčka MSA 8, pro složky P_x a P_y snyčky MSA 5.1.



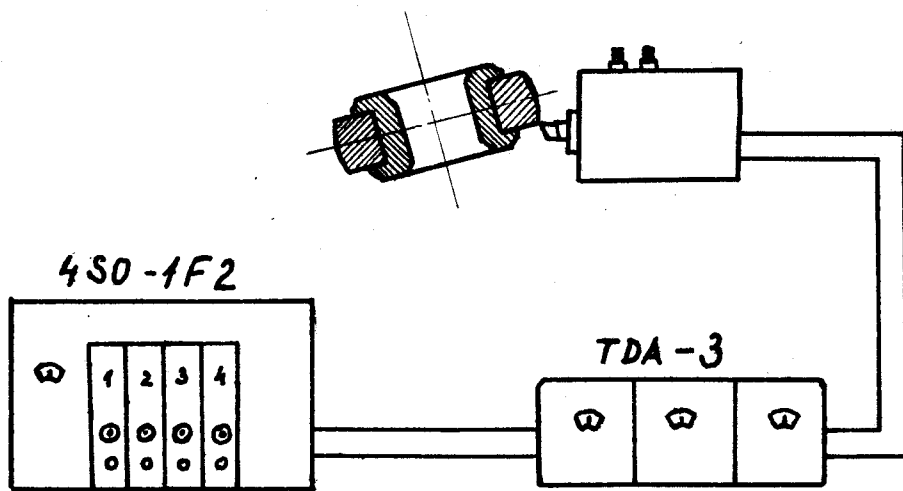
Obr. 9

Obr. 9 Tensometrická aparatura TDA3 se čtyřsmyčkovým osciloskopem

Schéma zapojení přístrojů je na obr. 10.

Konstrukce ojednávacího zařízení

Aby bylo možno určit absolutní hodnoty sil
s co nejmenší chybou, je nutno provést ojednávání



Obr. 10

Obr. 10 Schema zapojení přístrojů

za těchž podmínek, za kterých bylo prováděno měření. To znamená, provést ocejchování během měření, nebo bezprostředně po jeho ukončení. Z toho vyplývá jeden z hlavních požadavků na cejchovací zařízení, t.j. jeho jednoduchost a pohotovost. Dále je nutné, aby ocejchování bylo přesné v celém rozsahu měření a aby bylo zajištěno snadné rozlišení jednotlivých velikostí sil, aby tedy byla závislost výchylky na velikosti působící sily lineární.

Pro cejchování třísložkového dynamometru bylo navrženo cejchovací zařízení pracující na principu mechanického měření deformace vzniklé působící silou.

VŠST LIBEREC	Absolutní měření sil na přerušených řezech	DP — STR. 24
DP-ST-179/63		20. ČERVENCE 1963
Stanislav Zavřel		

Cejchovní dynamometry byly navrženy tvaru U / viz. DP-ST-179/63-1 a 2 /, v jednom rameni je pevně uchycen tisícinový úchylkoměr, jehož pohyblivý dotek se opírá o druhé rameno cejchovního dynamometru. Při zatížení nastane deformace obou ramen a úchylkoměr zaznamená výchylku odpovídající velikosti působící síly. Cejchovní dynamometry byly vyrobeny z materiálu 12060 frézováním, drážka byla obrážena. Byly zakaleny z teploty 830°C do oleje, popuštěny byly na teplotu 560°C .

Předběžný pevnostní výpočet cejchovacích dynamometrů.

Pro složku P_z :

$$G = \frac{M_o}{W_o} = \frac{P \cdot u}{\frac{1}{6} b h^2} = \frac{800 \cdot 5 \cdot 6}{4 \cdot 1,5^2} = 2650 \text{ kg/cm}^2$$

tedy trojnásobná bezpečnost.

Pro složku P_x a P_y

$$G = \frac{M_o}{W_o} = \frac{P \cdot u}{\frac{1}{6} b h^2} = \frac{400 \cdot 5 \cdot 6}{5,4 \cdot 1,2^2} = 1540 \text{ kg/cm}^2$$

tedy pětinásobná bezpečnost.

P působící síla

u vzdálenost od veknutí k působící síle

b šířka ramene

h tloušťka ramene

Ocejchování cejchovních dynamometrů bylo prove-

deno na trhačce s rozsahem 0 - 1000kg. Dynamometr pro složku P_z byl cejchován do síly 800kg, pro složku P_x, P_y do síly 400kg. Před cejchováním byl každý dynamometr zatížen několikrát maximální silou a opět odlehčen. V požadovaném rozsahu vyšla závislost $\delta = f/P$ přímkově a po odlehčení nevykázal úchylkoměr žádné zbytkové deformace / viz. příloha 1 /.

Pro cejchování třísložkového dynamometru přímo na stroji byl zhotoven rám / viz. DP-ST-179/63-3 /, který se čtyřmi šrouby M16 připevní k dynamometru.

Do nožového držáku dynamometru se zasadí náhradní nůž / viz. DP-ST-179/63-4 /, o který se v bodě v němž je při soustružení špička normálního nože, opírá cejchovní dynamometr.

V rámu jsou ve směrech působení jednotlivých řezných sil zašroubovány stavěcí šrouby M16. Mezi tyto šrouby a náhradní nůž se umísťuje cejchovní dynamometry. Přitahováním šroubu se podle výchylky úchylkoměru zatíží cejchovní dynamometr určitou známou silou a jí odpovídající výchylka se zaznamená na oscilografickém papíře. Porovnáním této výchylky s výchylkou způsobenou řeznou silou, můžeme určit absolutní velikost této řezné síly. Pro přesnější a snadnější vyhodnocování velikostí řezných sil bylo cejchování prováděno postupným zatěžováním po 20kg, až do předpokládané maximální řezné síly / obr.11 /.

Abysto bylo zajištěno vždy stejné vyložení nože,

VŠST LIBEREC

DP-ST-179/63

Absolutní měření sil
na přerušených řezech

DP — STR. 26

20. ČERVENCE 1963

Stanislav Zavřel



Obr. IIA

VŠST LIBEREC
DP-ST-179/63

Absolutní měření sil
na přerušených řezech

DP — STR. 27

20. ČERVENCE 1963

Stanislav Zavřel

120 kg

100 kg

80 kg

60 kg

40 kg

20 kg

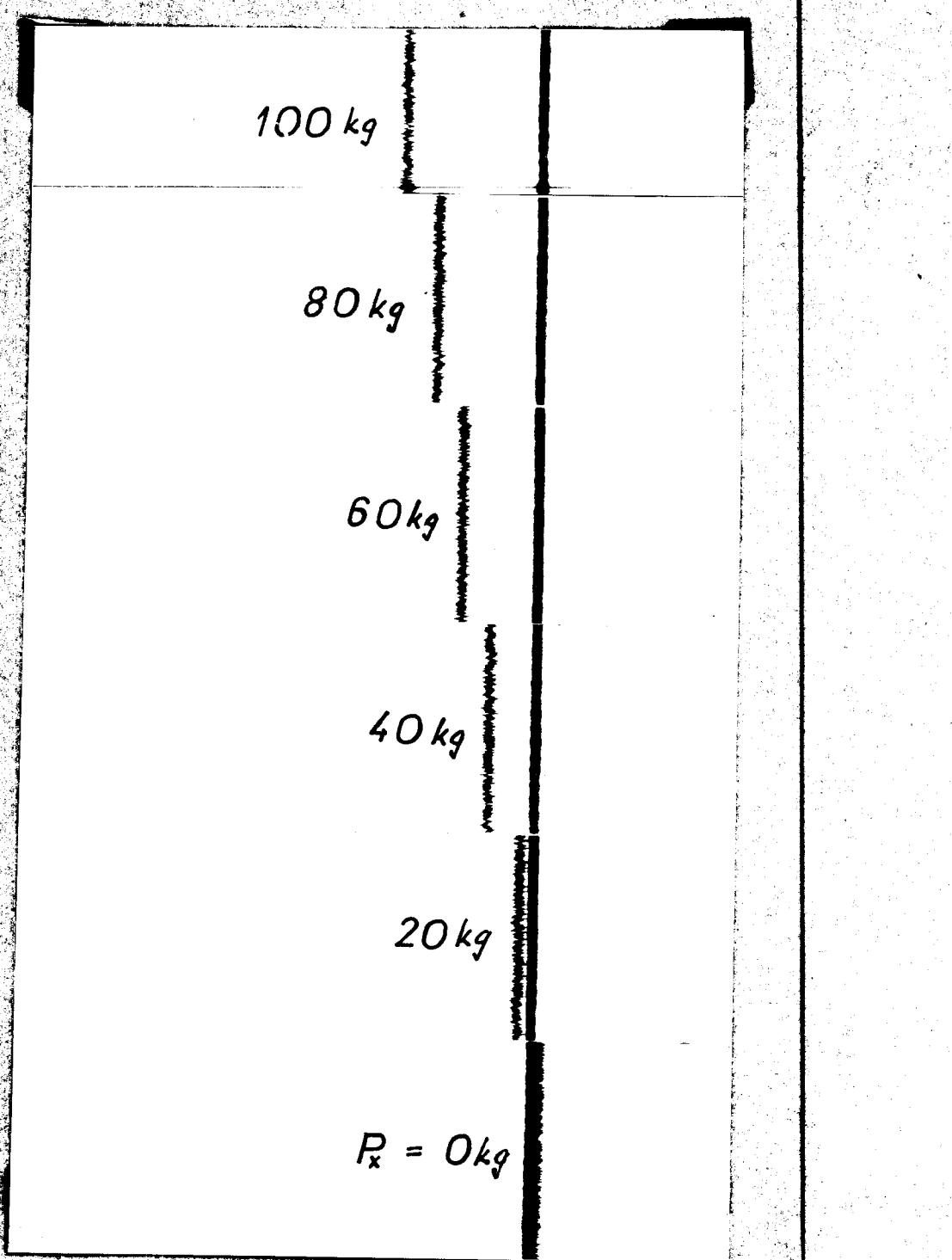
$P_r = 0 \text{ kg}$

Obr. 11b

VĚST LIBEREC
DP-ST-179/63

Absolutní měření sil
na přerušených řezech

DP — STR. 28
20. ČERVENCE 1963
Stanislav Zavřel



Obr. 11 Cejchování

- a/ složky P_z
- b/ složky P_y
- c/ složky P_x

VÍST LIBEREC
DP-ST-179/63

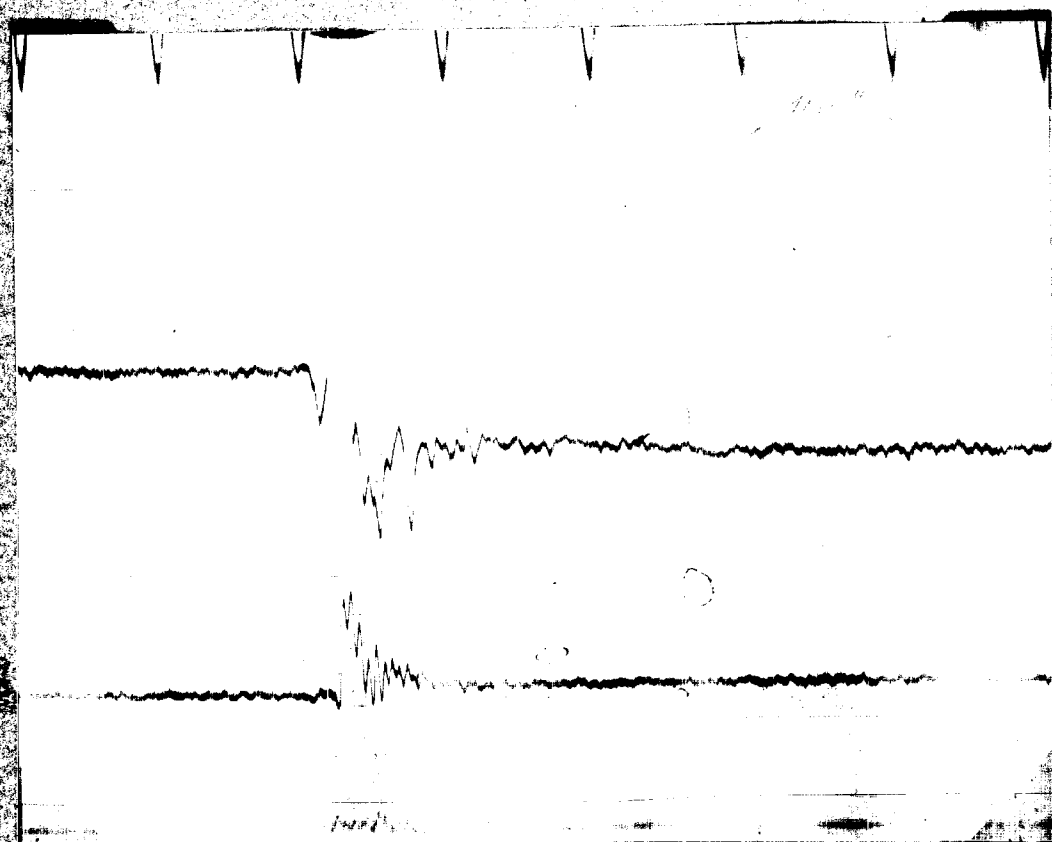
Absolutní měření sil
na přerušených řezech

DP — STR. 29
20. ČERVENCE 1963
Stanislav Zavřel

byla zhotovena šablona, podle níž se ustavuje špička
može vždy do téže polohy / viz. DP-ST-179/63-5 /.

Naměřené hodnoty

Nejdříve byla stanovena vlastní frekvence dyna-
mometru. Poněvadž je velmi obtížné stanovit vlastní
frekvenci u složitějších součástí, výpočtem, provádí
se stanovení vlastní frekvence porovnáním frekvence
rozkrmitané součásti úderem s nějakou známou frekven-
cí, nejčastěji proudovou frekvencí 50 Hz. Tak také
byla stanovena vlastní frekvence dynamometru /obr.12/

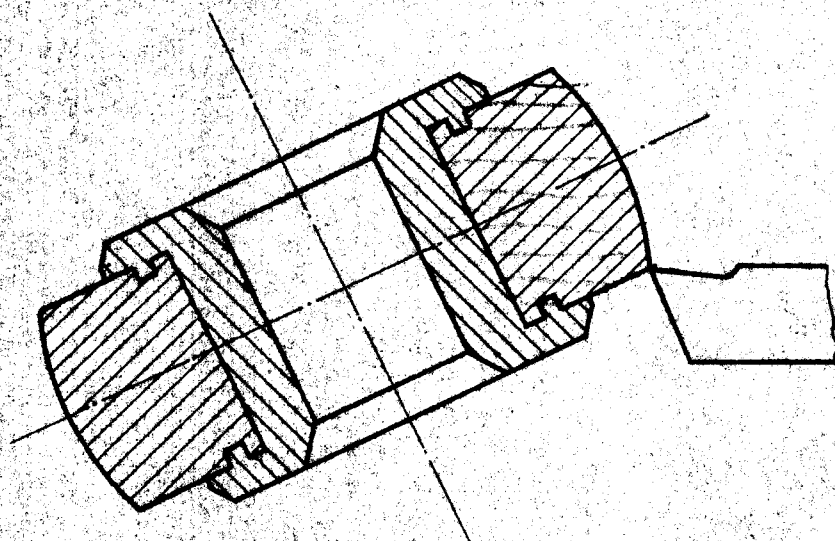


Obr. 12

Obr. 12 Stanovení vlastní frekvence dynamometru

Porovnáním s časovou základnou vychází vlastní frekvence dynamometru ve směru složky P_z 800 Hz a ve směru složky P_x 1000 Hz.

Dále bylo provedeno měření řezuých sil na přerušeném řezu. Přerušený řez byl vytvořen dvěma plochými tyčemi / obr. 13 /. Při jedné otáčce přístroje vejde



Obr. 13

Obr. 13 Přístroj pro vytvoření přerušeného řezu

nůž dvakrát do záběru a dvakrát je přerušením řezu odlehčen. 28% obvodu tvoří záběr a 72% přerušení.

Byly měřeny velikosti sil v závislosti na řezné rychlosti v rozsahu 30 - 200 m/min, v závislosti na posuvu v rozsahu 0,1 - 1 mm/ot a v závislosti na hloubce řezu v rozsahu 1 - 5 mm. Některé příklady naměřených výsledků jsou na obr. 14. Naměřené výsledky jsou vy-

VŠST LIBEREC

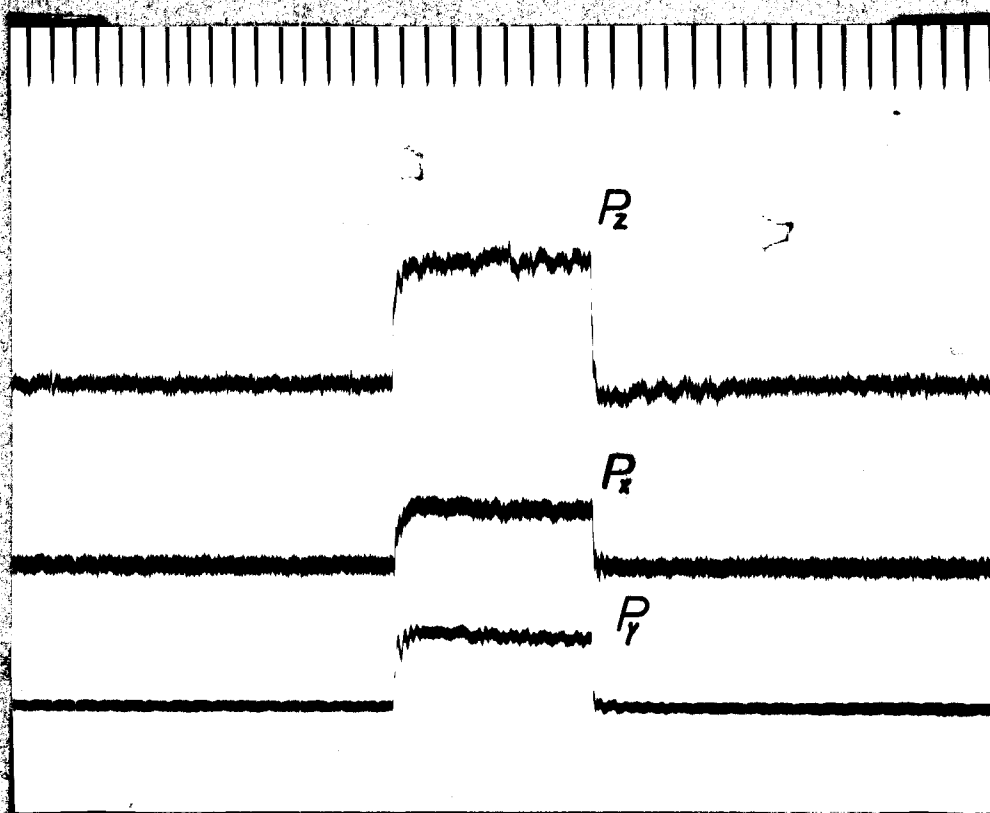
DP-ST-179/63

Absolutové měření sil
na přerušených řezech

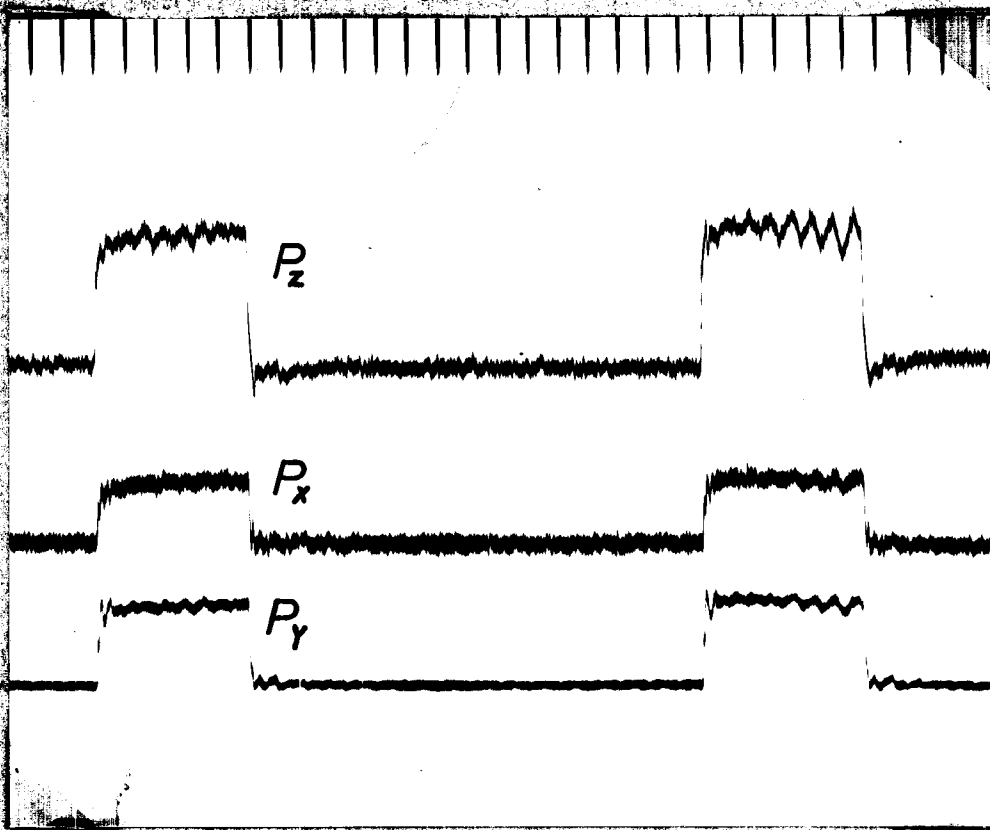
DP — STR. 31

20. ČERVENCE 1963

Stanislav Zavřel



Obr. 14a

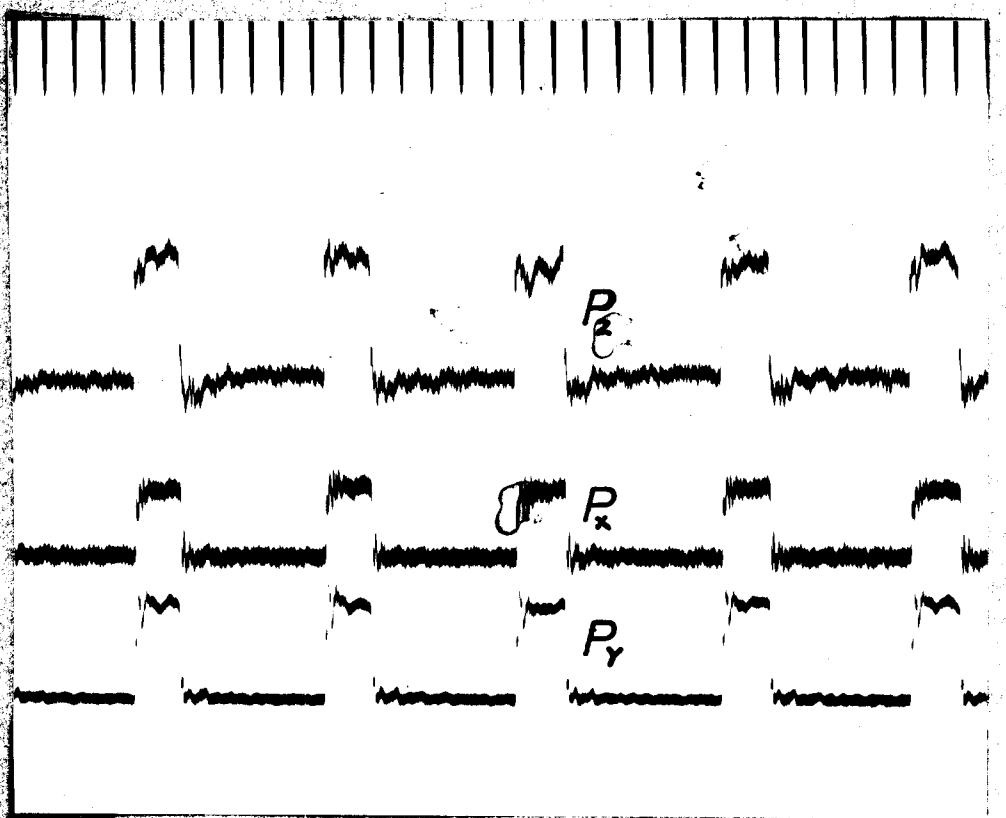
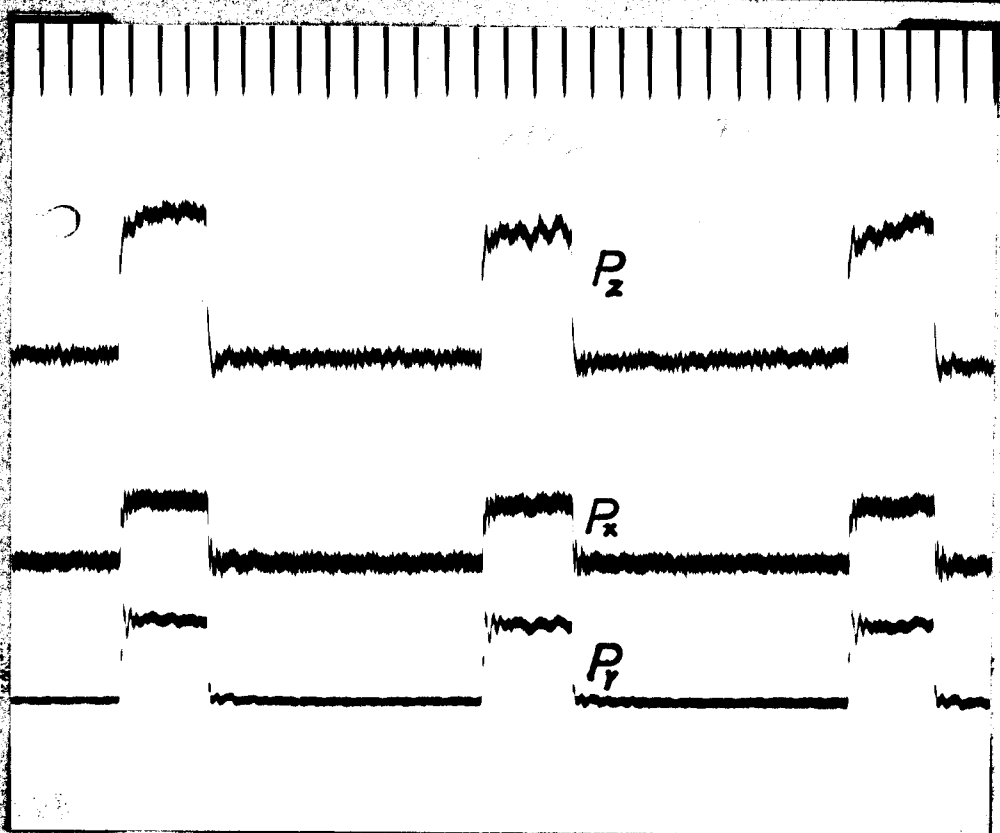


Obr. 14b

VŠST LIBEREC
DP-ST-179/63

Absolutní měření sil
na přerušených řezech

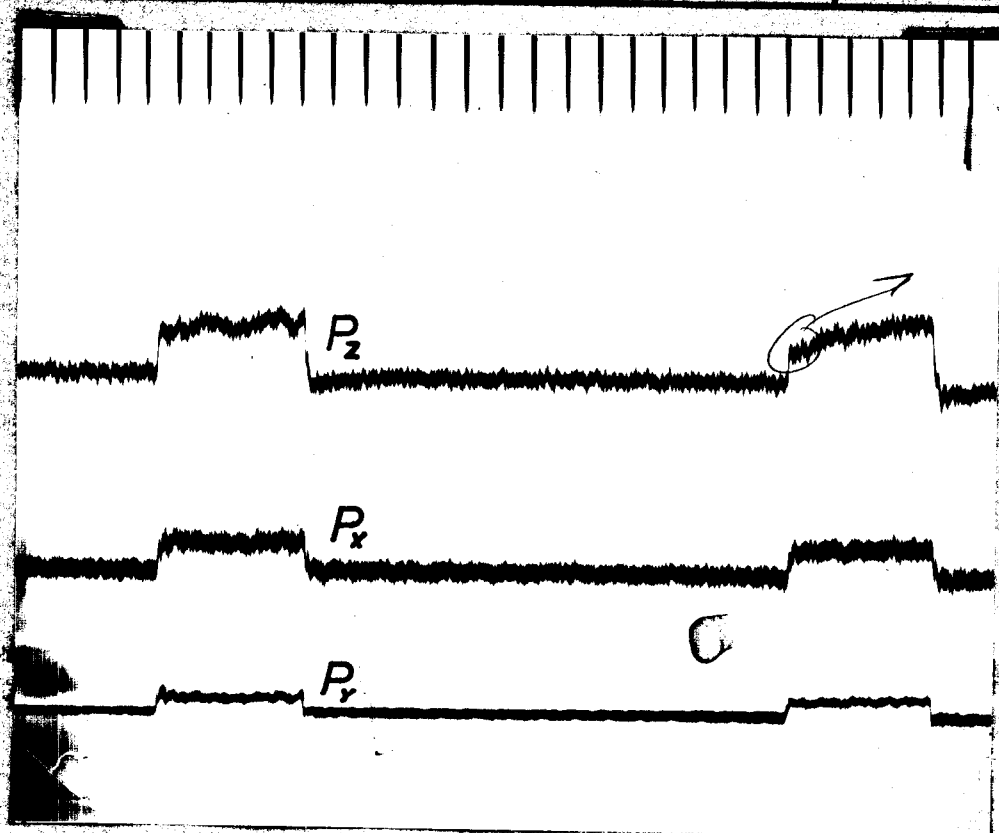
DP — STR. 32
20. ČERVENCE 1963
Stanislav Zavřel



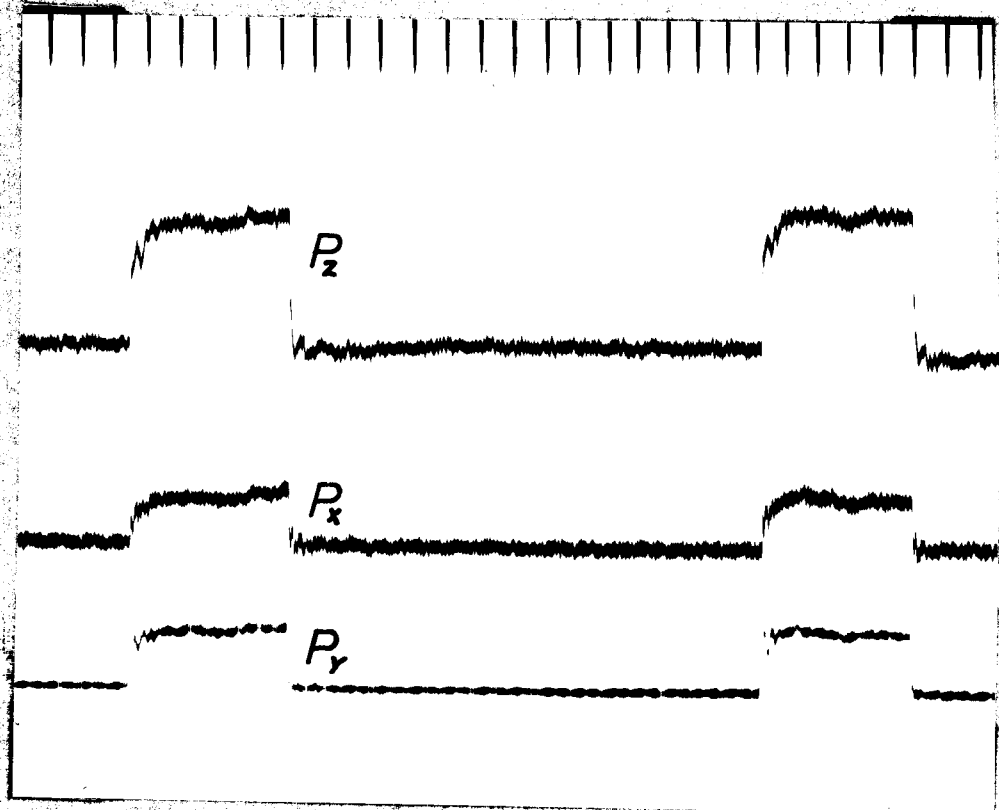
VŠST LIBEREC
DF-ST-179/63

Absolutní měření sil
na přerušených řezech

DP — STR. 33
20. ČERVENCE 1963
Stanislav Zavřel



Obr. 14e

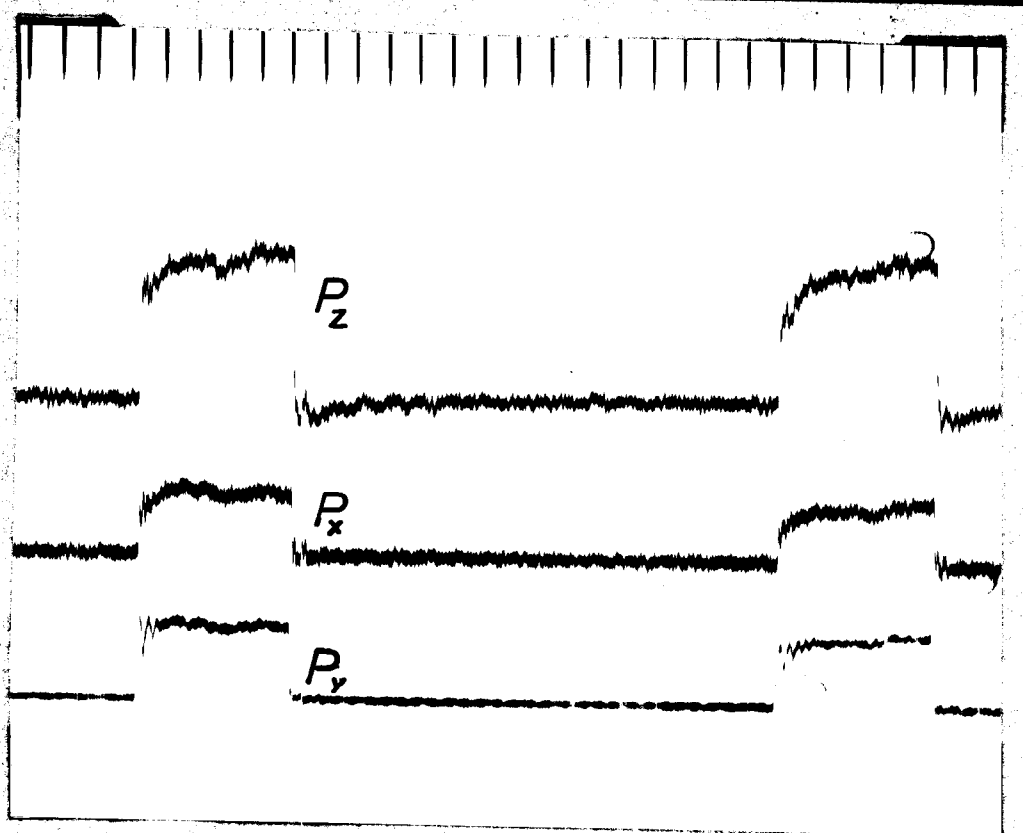


Obr. 14f

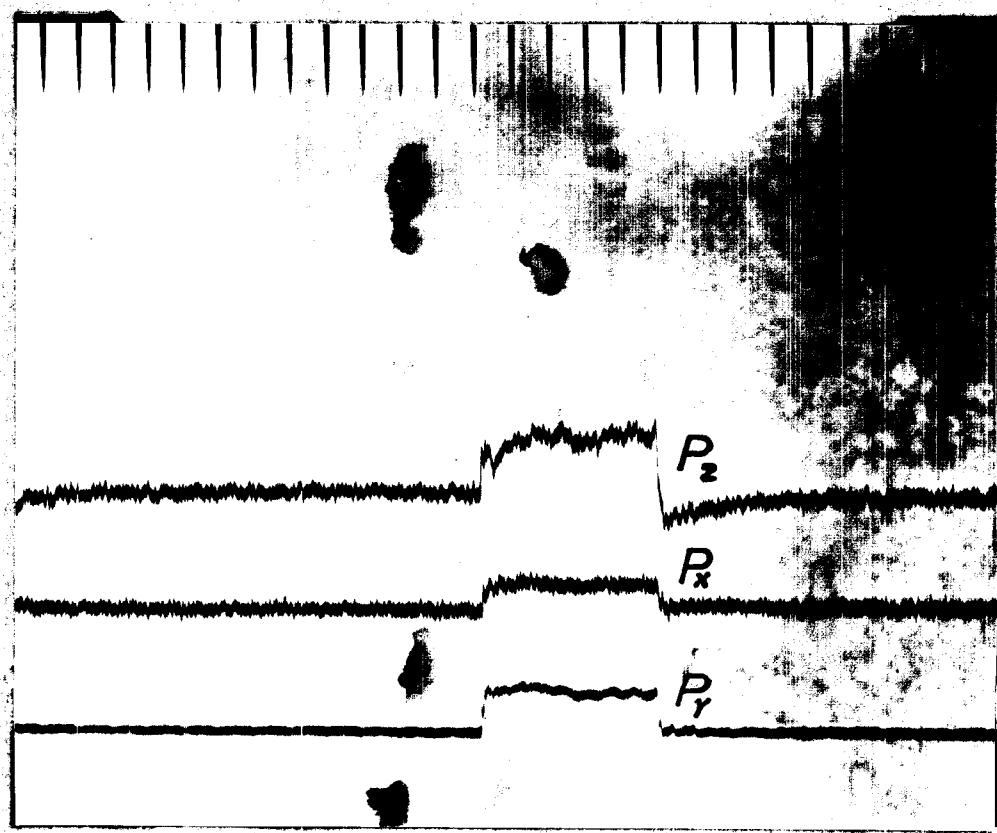
VŠST LIBEREC
DP-ST-179/63

Absolutní měření sil
na přerušených řezech

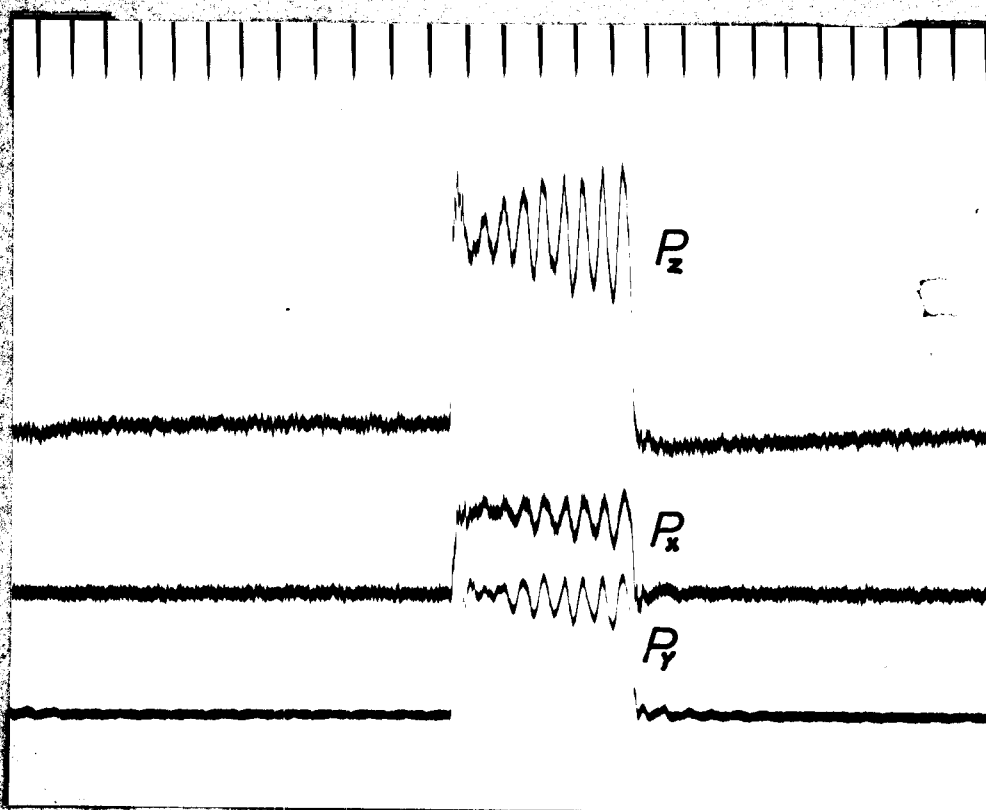
DP — STR. 34
20. ČERVENCE 1963
Stanislav Zavřel



Obr. 14g



Obr. 14h



Obr. 14i

Obr. 14 Oscilogram řezné sily

Materiál 12060

Nástroj ČSN 3713 S2 20x20

Řezné podmínky

- a/ $v=36 \text{ m/min}$, $s=0,2 \text{ mm/ot}$, $t=2 \text{ mm}$
- b/ $v=57 \text{ m/min}$, $s=0,2 \text{ mm/ot}$, $t=2 \text{ mm}$
- c/ $v=91 \text{ m/min}$, $s=0,2 \text{ mm/ot}$, $t=2 \text{ mm}$
- d/ $v=181 \text{ m/min}$, $s=0,2 \text{ mm/ot}$, $t=2 \text{ mm}$
- e/ $s=0,1 \text{ mm/ot}$, $v=57 \text{ m/min}$, $t=1 \text{ mm}$
- f/ $s=0,4 \text{ mm/ot}$, $v=57 \text{ m/min}$, $t=1 \text{ mm}$
- g/ $s=0,96 \text{ mm/ot}$, $v=57 \text{ m/min}$, $t=1 \text{ mm}$
- h/ $t=1 \text{ mm}$, $v=57 \text{ m/min}$, $s=0,2 \text{ mm/ot}$
- i/ $t=4 \text{ mm}$, $v=57 \text{ m/min}$, $s=0,2 \text{ mm/ot}$

VŠST LIBEREC
DP-ST-179/63

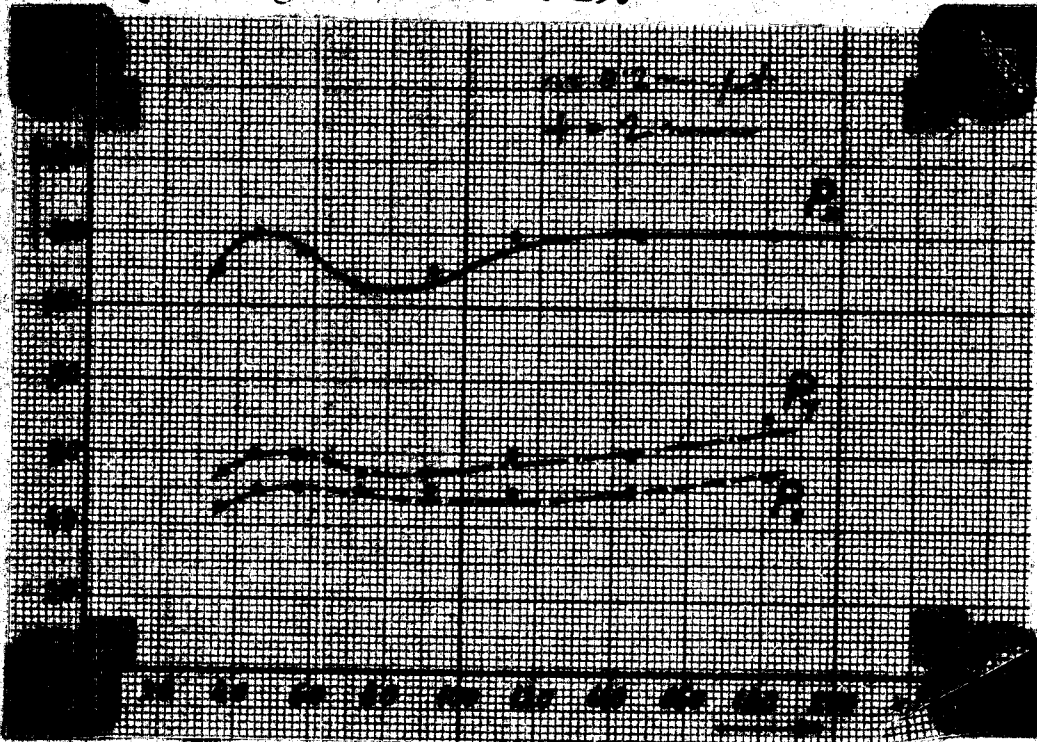
Absolutní měření sil
na přerušených řezech

DP — STR. 36

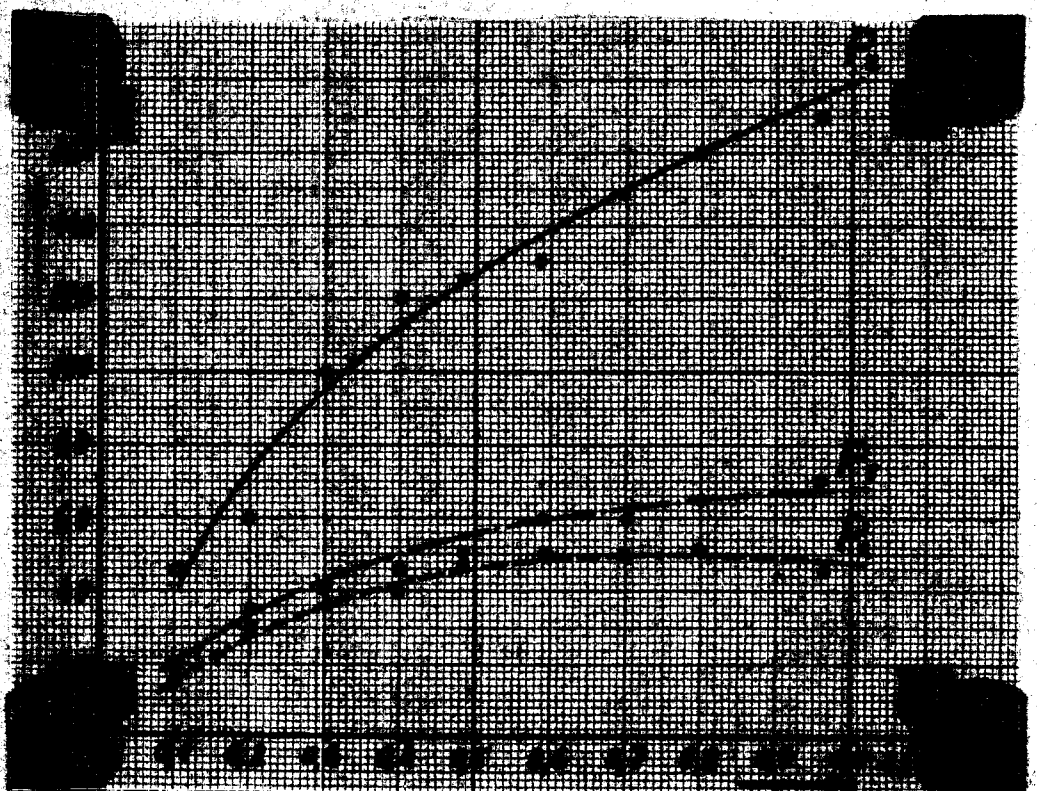
20. ČERVENCE 1963

Stanislav Zavřel

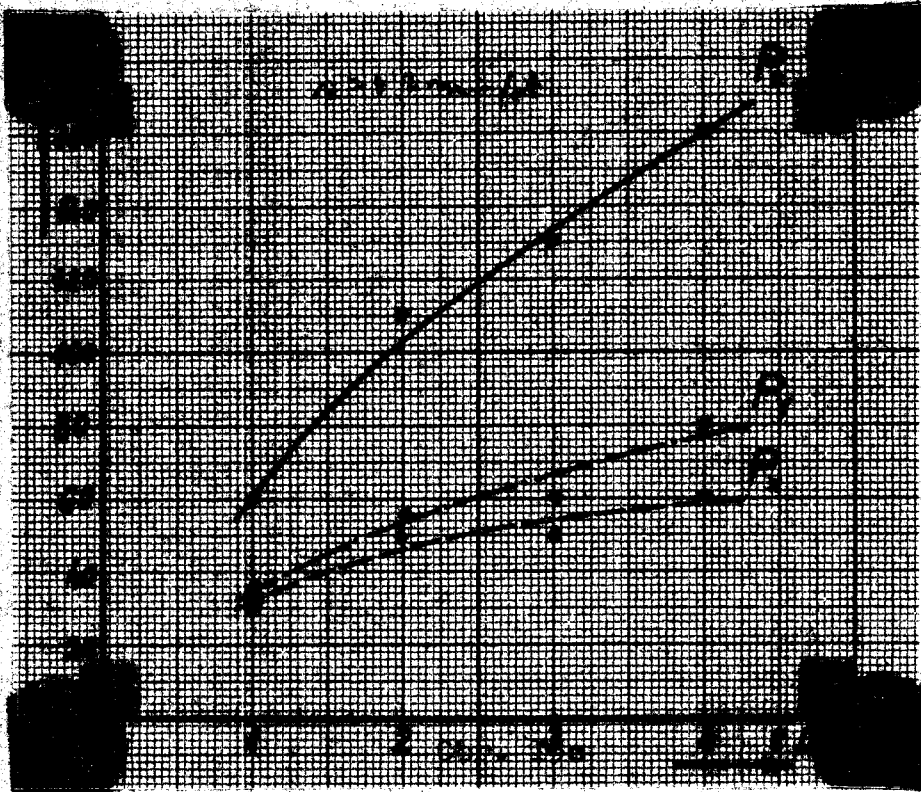
neseny v diagramech na obr. 15.



Obr. 15a



Obr. 15b



Obr. 15. Průběh řezných sil na přerušeném řezu
v závislosti na řezných podmírkách

Materiál 12060

Nástroj ČSN 3713 S2 20x20

a/ $P = f / v / s = 0,2 \text{ mm/ot}, t = 2 \text{ mm}$

b/ $P = f / s / v = 57 \text{ m/min}, t = 1 \text{ mm}$

c/ $P = f / t / v = 57 \text{ m/min}, s = 0,2 \text{ mm/ot}$

Poněvadž naměřený průběh řezných sil se poněkud odlišuje od průběhů naměřených jinými autory [3,6,7] a také stanovení vlastní frekvence nedává reálné výsledky usoudili jsme, že uspořádání přístrojů v tomto případě pravděpodobně není vhodné pro měření tak rychlých změn, jakými právě silové rázy jsou.

Aplikace piezosnímače na složku P_z

Abychom mohli zjistit skutečný průběh řezné síly, byl u složky P_z nahrazen snímač tensometrický citlivějším snímačem piezoelektrickým. Hlavním znakem piezoelektrických snímačů je nezkreslený přenos v širokém frekvenčním rozsahu a malé rozměry. Přímý piezoelektrický jev, kterého se využívá při měření mechanických veličin záleží v tom, že na povrchu některých krystalických látek vzniká působením mechanické síly elektrický náboj. Velikost tohoto náboje je dána vztahem [1]

$$q = k \cdot F \quad (4)$$

q vzniklý náboj

k piezoelektrický modul

F působící síla

Tímto nábojem se nabíjejí stěny krystalické látky na př. křemene, a s nimi spojené vodiče na napětí U , dané vztahem

$$U = \frac{q}{C} \quad (5)$$

kde C je kapacita mezi vodiči / i s kapacitou křemene /.

K měření těchto napětí se používá přístrojů s vysokým vstupním odporem, které nespotřebovávají náboje vznikající na piezoelektrickém tělese. [1]

Základní obtíží při měření piezoelektrického jevu je unikání náboje s piezoelektrického tělesa. Změna

rozdílu potenciální U mezi nabitou součástí a zemí
lze v závislosti na čase vyjádřit jako [1]

$$\frac{U}{U_0} = 1 - \frac{t}{R_o C_o} \quad (6)$$

U_0 rozdíl potenciálů, vzniklý ve snímači
v okamžiku zatížení

t doba, která uplynula od okamžiku zatíže-
ní

C_o kapacita mezi nabitou částí snímače a ze-
mí

R_o odporník isolace nabité části ve snímači
proti zemi

Pro omezení unikání náboje je tedy třeba vysoký iso-
lační odporník. Tento bývá zpravidla větší než $10^{12} \Omega$.

Důležitou součástí piezoelektrického měřicího
zařízení je kabel spojující snímač se zesilovačem.

Musí mít tyto vlastnosti [8]

1/ Vysoký isolační odporník

2/ Dobré stínění proti vnějším rozptylovým
polím

3/ Malou kapacitu

4/ Konstantní kapacitu při ohýbání kabelu

5/ Při ohýbání kabelu nesmí třením vznikat
elektřina

6/ Isolační odporník se nesmí změňovat vlivem
vlhkosti

Zesilovač k měření piezoelektrickými snímači
musí mít vysoký vstupní odporník.

VŠST LIBEREC
DP-ST-179/63

Absolutní měření sil
na přerušených řezech

DP — STR. 40

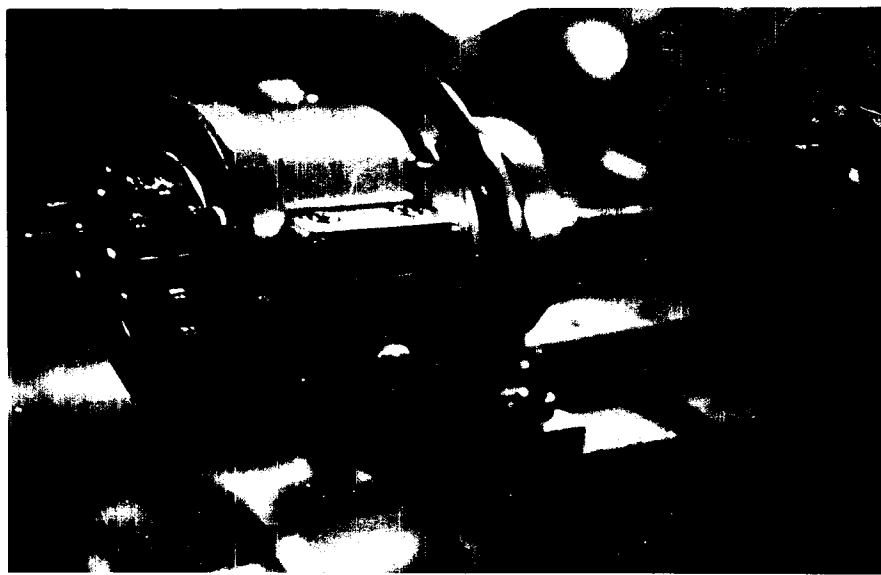
20. ČERVENCE 1963

Stanislav Zavřel

Jelikož piezoelektrický snímač snese velmi malé smykové napětí, bylo třeba usadit jej tak, aby se těmito zabránilo. Dále bylo požadováno, aby výměna piezoelektrického snímače za tensometrickou měrnou dózu byla snadná. Proto byl vyroben nový stavěcí šroub s vyvrstanou průběžnou dírou / DP-ST-179/63-6 /, do které se vsune středící kolík zašroubovaný do dna piezoelektrického snímače. Tím se vymezí jakýkoliv pohyb snímače po stavěcím šroubu a zabrání se tak smykovým napětím, které by v opačném případě mohly snímač porušit. Mezi hlavici snímače a nožový držák byl vložen váleček s vyvrstanými kuželovými lůžky pro hlavici piezosnímače a opěrnou kuličku na nožovém držáku / DP-ST-179/63-7 /. Piezosnímač je typu DE 1500 s citlivostí 0,09 - 0,18 V/kg. Výrobcem je VEB Messgerätewerk Zwönitz.

Piezosnímač byl koaxiálním kabelem připojen k zesilovači stejnosměrným napětím GV-2 čís. 4695.1 s vysokým vstupním odporem. Odtud pak je veden signál na svislé vychylkovací destičky osciloskopu. Působením síly na piezoelektrický snímač se vytvoří napětí odpovídající velikosti této síly, to se v zesilovači zesílí a vychýlí paprsek na obrazovce osciloskopu ve svislém směru. Abychom však mohli zjistit změny rezné síly v závislosti na pohybu obrobku vzhledem k nástroji je třeba, aby se paprsek po obrazovce pohyboval také ve vodorovném směru a to aby přesně za

jednu otáčku vřetene přešel rovnoměrným pohybem z levé krajní polohy do pravé a rychle se vrátil zpět. Proto byla k vodorovným vychylovacím destičkám katedového osciloskopu připojena aparatura sledovač časové základny, již tvoří: snímač časové základny / obr. 16 / a hlavní přístroj časové základny. Snímač časové základny je pružným hřídelem spojen s vřetenem



Obr. 16

Obr. 16 Snímač časové základny

soustruhu. Princip tohoto zařízení spočívá v tom, že pohyb vřetene se pružným hřídelem přenáší na destičku ve tvaru archimedovy spirály, která se pohybuje mezi deskami kondensátoru a mění tak jeho kapacitu. To se projeví na obrazovce osciloskopu vychylováním paprsku ve vodorovném směru. Průběh řezné síly se na obrazov-

VŠST LIBEREC

DP-ST-179/63

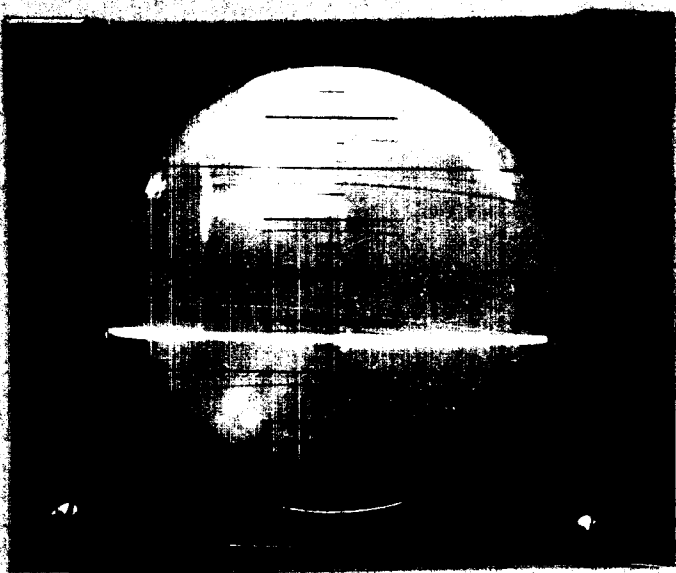
Absolutní měření sil
na přerušených řezech

DP — STR. 42

29. ČERVENCE 1963

Stanislav Zavřel

ce osciloskopu ukáže jako plošný obrazec, který se
již dá fotografovat / obr. 17 /.



Obr. 17

Obr.17 Fotografie obrazovky osciloskopu

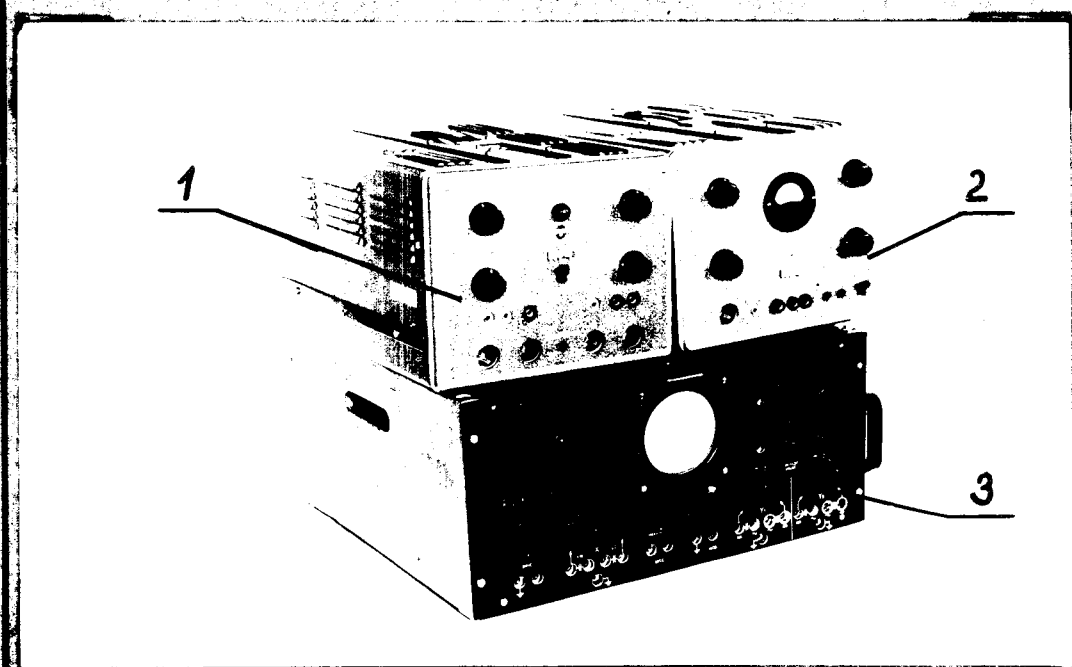
Snímač časové základny je s hlavním přístrojem
časové základny propojen dvěma koaxiálními kably.

Sledovač časové základny KU-1 typ čís. 4815.1
je rovněž výrobkem RFT VEB Messgerätewerk Zwönitz.

Obr. 18 ukazuje přístroje použité k měření .

Nevýhodou měření s použitým piesoelektrickým
snímačem je, že se s ním nedají měřit síly statické,
poněvadž delší dobou zatížení by se vybil elektrický
náboj s křemenné destičky snímače. Proto jsme mohli
provést pouze relativní měření, neboť k absolutnímu

měření by bylo potřeba cejchování proměnlivou silou což nebylo k disposici.



Obr. 18

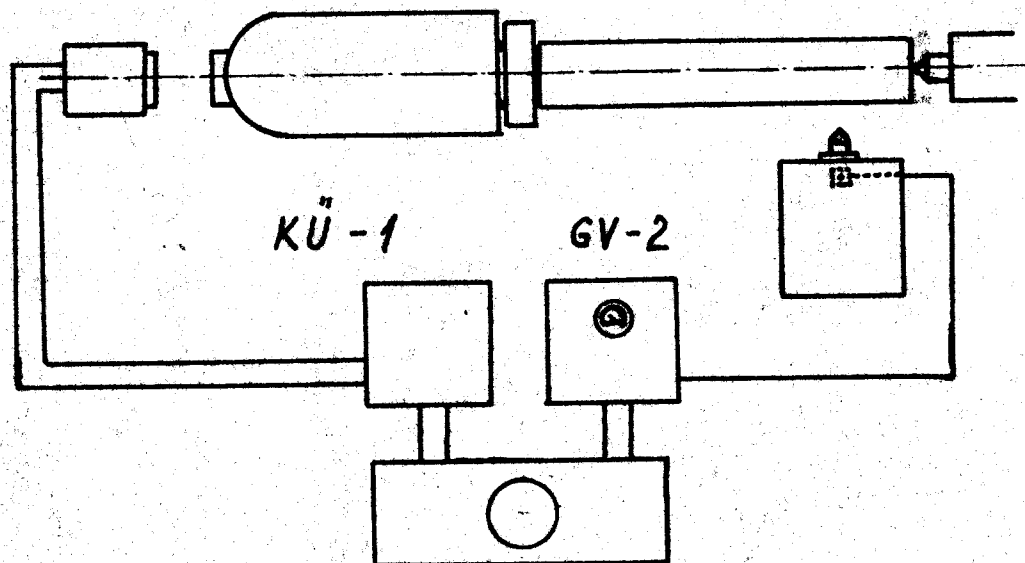
Obr. 18 Použité přístroje

- 1 ... sledovač časové základny
- 2 ... zesilovač stejnosměrných napětí
- 3 ... katodový osciloskop "Křížík"

Obr. 19 znázorňuje schema zapojení použitých přístrojů.

Provedená měření

Dynamometrem s piezoelektrickým snímačem byly měřeny průběhy řezné silly v závislosti na řezné rychlosti v rozsahu 30 - 150m/min, na posuvu v rozsahu



Obr. 19

Obr. 19 Schema zapojení piezosnímače

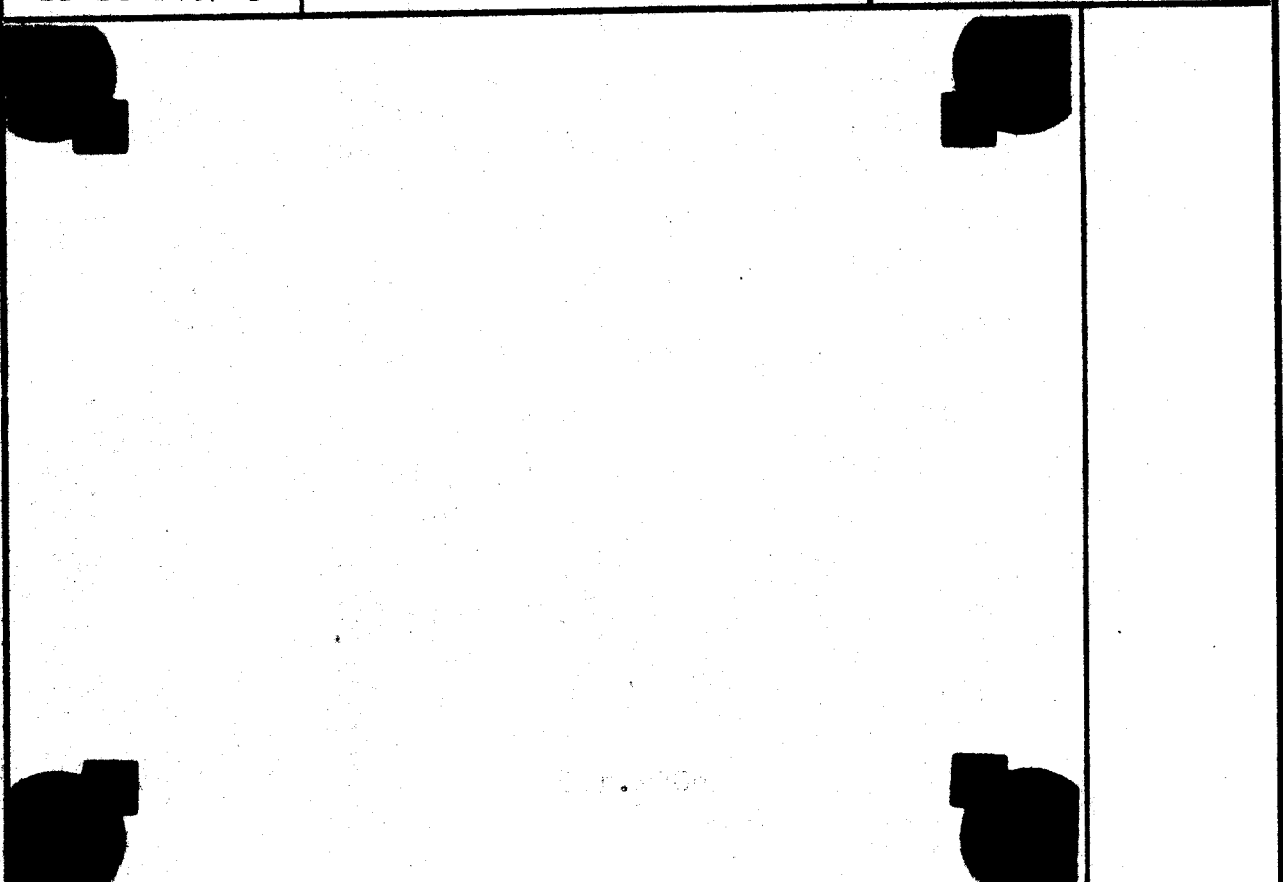
0 - 1mm/ot a hloubce řezu v rozsahu 0 - 5mm. Ze zjištěných průběhů byl v jednotlivých případech určen poměr $\frac{P}{P_0}$ a velikosti tohoto poměru byly vyneseny v diagramu na obrázku 20.

Bylo provedeno měření průběhu síly na noži, který byl vybroušen tak, že první dotyk mezi nožem a obrobkem byl plošný, takže rychlosť zatěžování byla velmi vysoká.

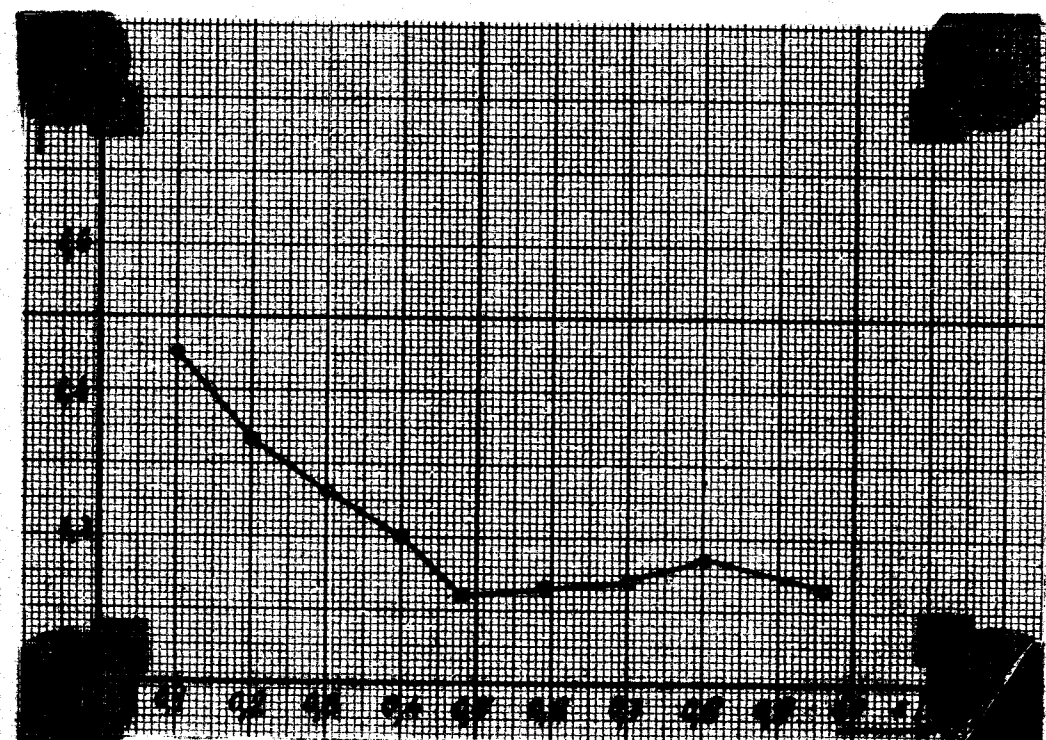
Aby se zjistil vliv materiálu nástroje na velikost silového rázu, bylo provedeno měření v průběhu řezné síly na noži, který byl vyroben celý ze slinu-

VŠST LIBEREC	Absolutní měření sil na přerušených řezech	DP — STR. 45
DP-ST-179/63		20. ČERVENCE 1963

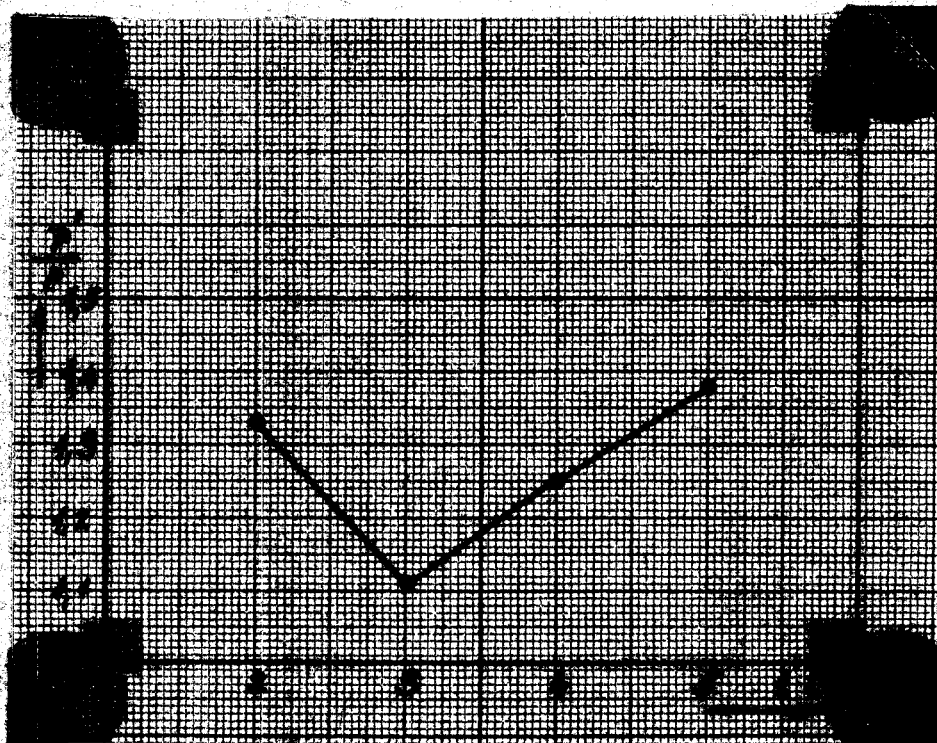
Stanislav Zavřel



Obr. 20a



Obr. 20b



Obr. 20c

Obr. 20c Velikost poměru $\frac{P'}{P}$ v závislosti na
řezných podmírkách

Materiál 12060

Nástroj ČSN 3712 S2 25x25

a/ $\frac{P'}{P} = f/v / s = 0,2 \text{ mm/ot} t = 2 \text{ mm}$

b/ $\frac{P'}{P} = f/s / v = 48 \text{ m/min} t = 1 \text{ mm}$

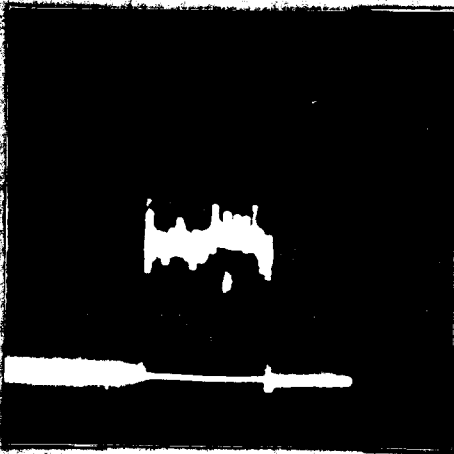
c/ $\frac{P'}{P} = f/t / v = 48 \text{ m/min} s = 0,2 \text{ mm/ot}$

tého karbidu.

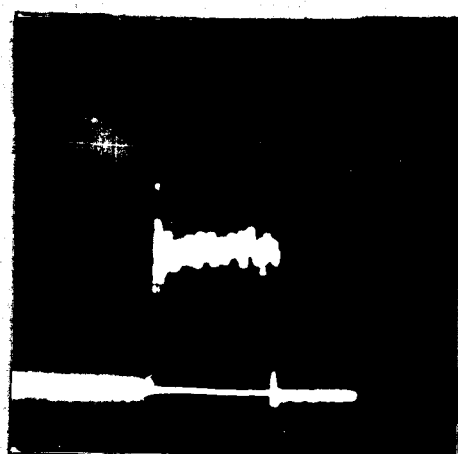
Výsledky měření

Výsledky provedených měření se shodují s předcházejícími teoretickými vývody. Při řezné rychlosti 30m/min /obr. 2la/ se ještě příliš neprojevuje maximum řezné síly na počátku záběru a průběh je velmi nerovnoměrný. Při rychlosti 38m/min /obr. 2lb/ je již

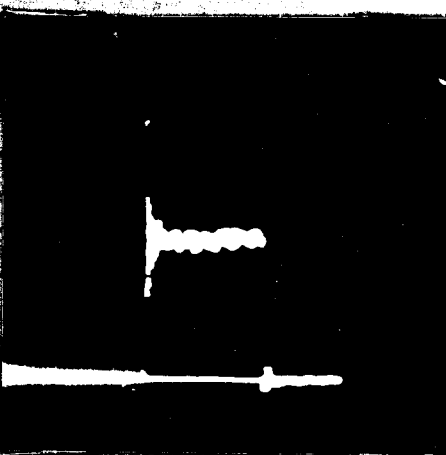
silový ráz výraznější, průběh řezné síly je ještě stále velmi nerovnoměrný, řezná rychlosť je pro tento druh obrábění nevhodná. Při řezné rychlosti 60m/min /obr.21c/ je špička napětí na počátku záběru velmi výrazná, průběh řezné síly je již podstatně rovnoměrný. Při výšších rychlostech dosahuje silová špička ještě vyšších hodnot, při řezné rychlosti 150m/min činí poměr $\frac{P'}{P} = 2,3$ /obr.21f/. Se zvětšuje-



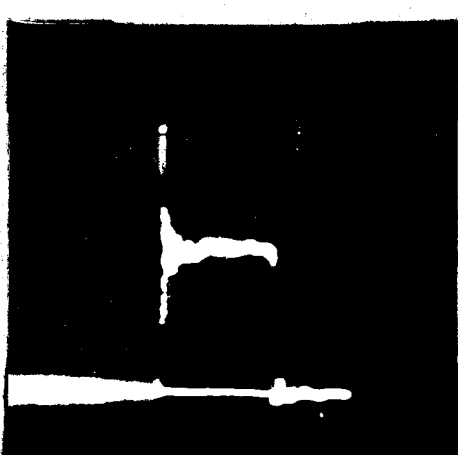
Obr.21a



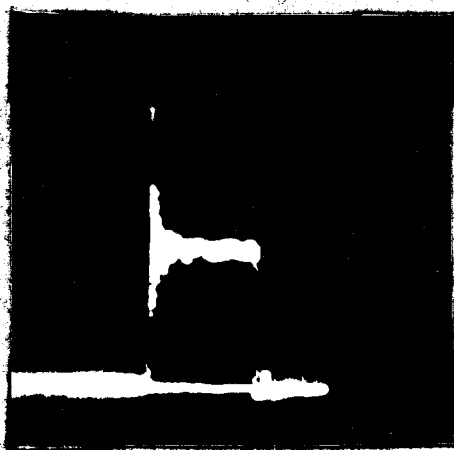
Obr.21b



Obr.21c



Obr.21d

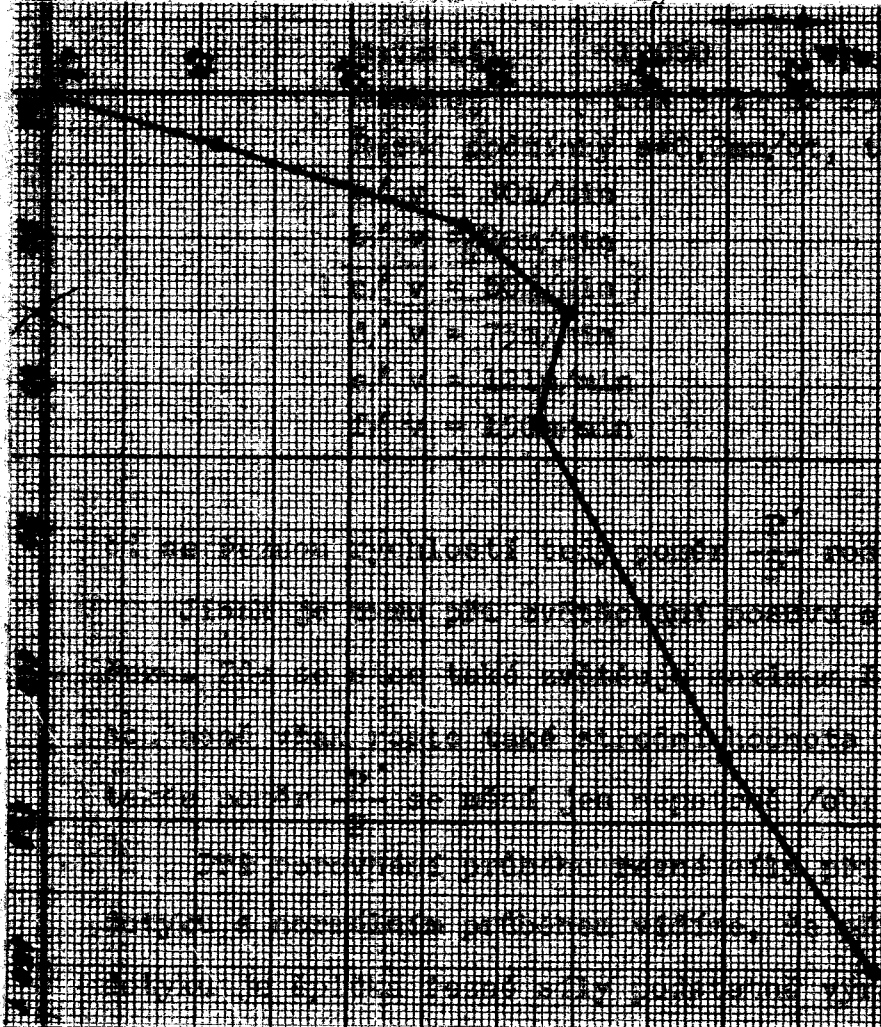


Obr.21e



Obr.21f

Obr.21 Průběh řezné sily



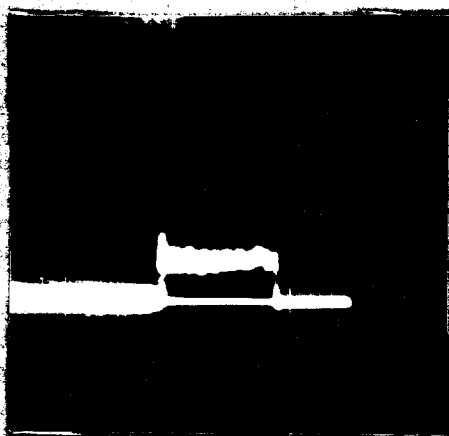
VŠST LIBEREC
DP-ST-179/63

Absolutní měření sil
na přerušených řezech

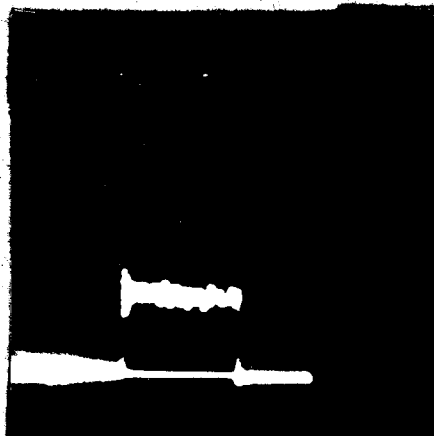
DP — STR. 49

20. ČERVENCE 1963

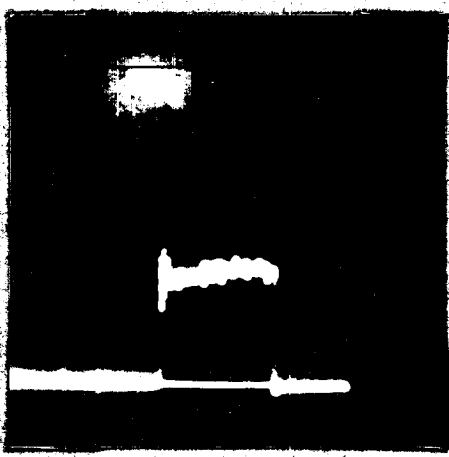
Stanislav Zavřel



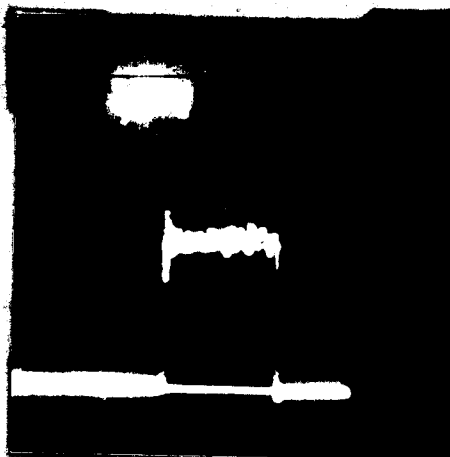
Obr.22a



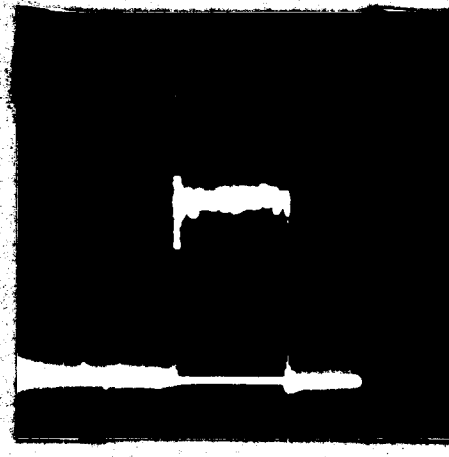
Obr.22b



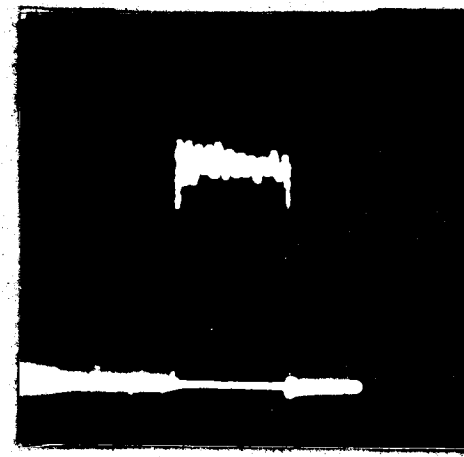
Obr.22c



Obr.22d



Obr.22e

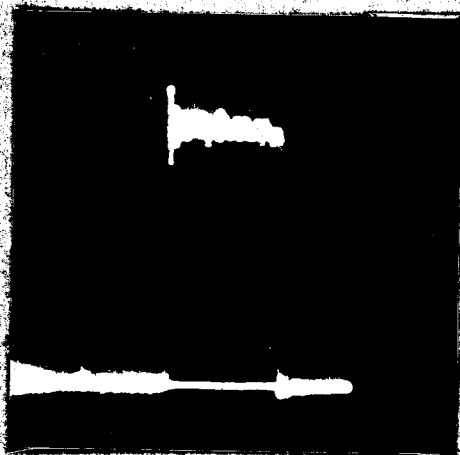


Obr.22f

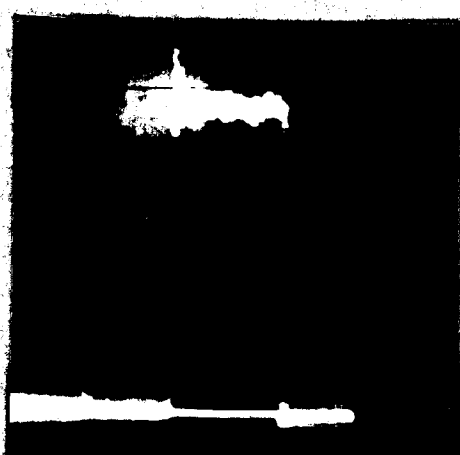
VŠST LIBEREC
DP-ST-179/63

Absolutní měření sil
na přerušených řezech

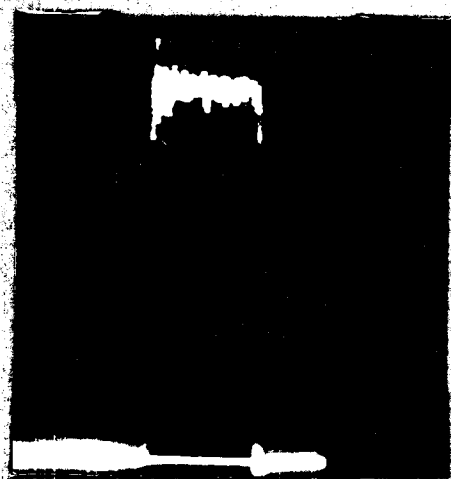
DP — STR. 50
20. ČERVENCE 1963
Stanislav Zavřel



Obr.22g



Obr.22h



Obr.22i

Obr. 22 Průběh řezné sily

Materiál 12060

Nástroj ČSN 3712 S2 25x25

Řezné podmínky $s = 48\text{mm/min}$, $t = 1\text{mm}$

a/ $s = 0,1\text{mm/ot}$ g/ $s = 0,7\text{mm/ot}$

b/ $s = 0,2\text{mm/ot}$ h/ $s = 0,8\text{mm/ot}$

c/ $s = 0,3\text{mm/ot}$ i/ $s = 0,96\text{mm/ot}$

d/ $s = 0,4\text{mm/ot}$

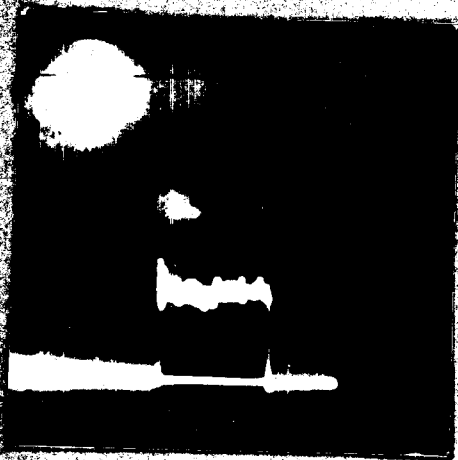
e/ $s = 0,48\text{mm/ot}$

f/ $s = 0,59\text{mm/ot}$

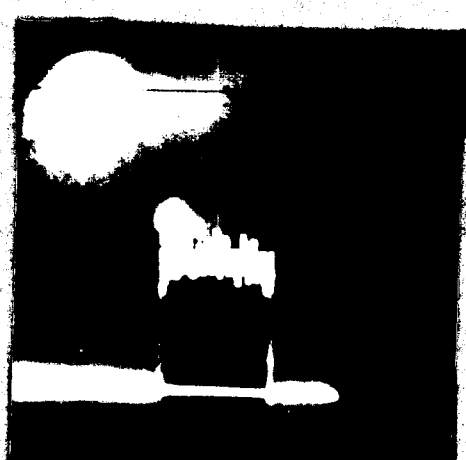
VŠST LIBEREC
DE-ST-179/63

Absolutní měření sil
na přerušených řezech

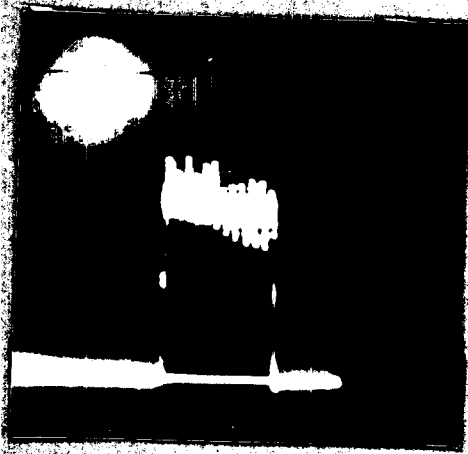
DP — STR. 51
20. ČERVENCE 1963
Stanislav Zavřel



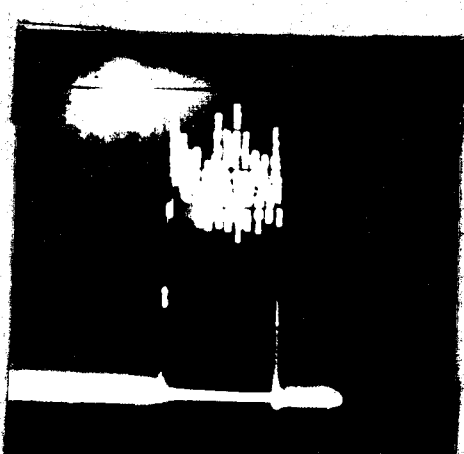
Obr.23a



Obr.23b



Obr.23c



Obr.23d

Obr. 23 Průběh řezné síly

Materiál 12060

Nástroj ČSN 3712 S2 25x25

Řezné podmínky $v = 48 \text{m/min}$, $s = 0,2 \text{mm/ot}$

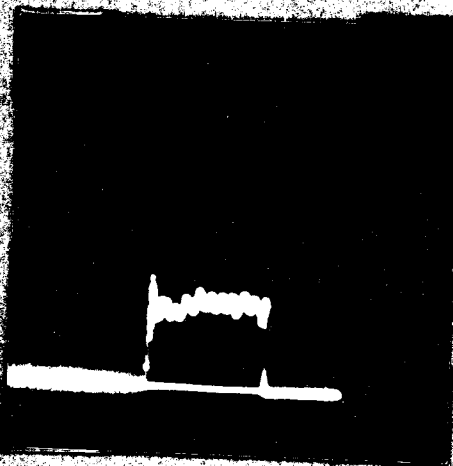
a/ $t = 2 \text{mm}$

b/ $t = 3 \text{mm}$

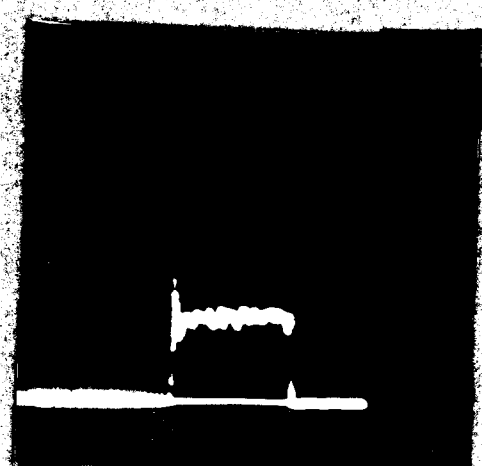
c/ $t = 4 \text{mm}$

d/ $t = 5 \text{mm}$

Při řezné rychlosti 48m/min je poměr $\frac{P'}{P} = 1,82$
a při rychlosti 60m/min již $2,09$ /obr.24/.



Obr. 24a



Obr. 24b

Obr. 24 Průběh řezné sily při plošném dotyku.

Materiál 12060

Nástroj ČSN 3712 S2 25x25

Řezné podmínky $s = 0,2\text{mm/ot}$, $t = 2\text{mm}$

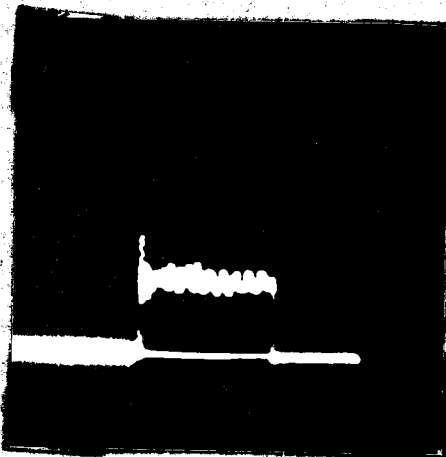
a/ $v = 48\text{m/min}$

b/ $v = 60\text{m/min}$

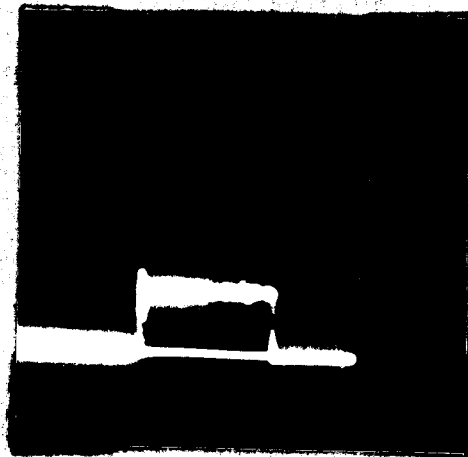
Při měření s celokarbidovým nožem byl průběh řezné sily oproti průběhu s normálním nožem mnohem rovnoměrnější /obr.25/. Ukazuje to na větší útlum chvění slinutým karbidem. Byl také značně menší poměr $\frac{P'}{P} = 1,3$.

Zhodnocení provedených měření

Provedené měření ukázalo vhodnost provedení dynamometru s piezoelektrickým snímačem, neboť velmi dítlivě zaznamenává všechny změny řezné sily. Nevýhodou je však měření pouze relativního průběhu. By-



Obr.25a



Obr.25b

Obr. 25 Průběh řezné síly

Materiál 12060

Řezné podmínky $v = 48 \text{ m/min}$, $s = 0,2 \text{ mm/ot}$,
 $t = 2 \text{ mm}$

Nástroj a/ ČSN 3712 S2 25x25

b/ celokarbidový nůž 25x25

lo by tedy třeba zkonstruovat nové cejchovací zařízení, které by umožnilo cejchování proměnlivou silou.

Podle výsledků měření se naskytá možnost snížení poměru $\frac{P'}{P}$ změnou geometrie nástroje, t.zn. snížením zátěžné rychlosti.

Podle průběhu řezné síly při měření s celokarbidovým nožem se nabízí další možnost snížení poměru $\frac{P'}{P}$. Poněvadž zvětšení vyložení nože, jak je uváděno v literatuře , má za následek snížení silového rázu na počátku záběru a zvýšení rozkmitání nože, je zde možnost použití materiálu nožového držá-

VŠST LIBEREC

DP-ST-179/63

Absolutní měření sil
na přerušených řezech

DP — STR. 54

20. ČERVENCE 1963

Stanislav Zavřel

ku s větším útlumem chvění, při větší délce vyložení nože.

Bыло však provedeno velmi málo měření, aby se mohly učinit jednoznačné závěry. K tomu by bylo třeba ještě mnoho dalších měření.

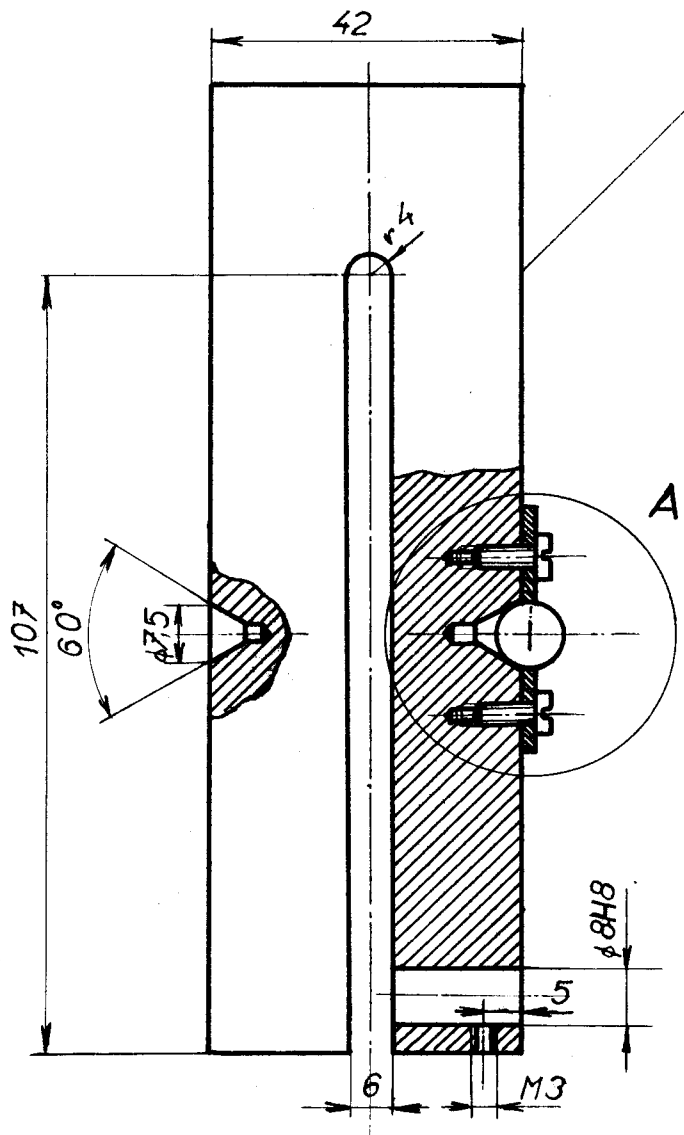
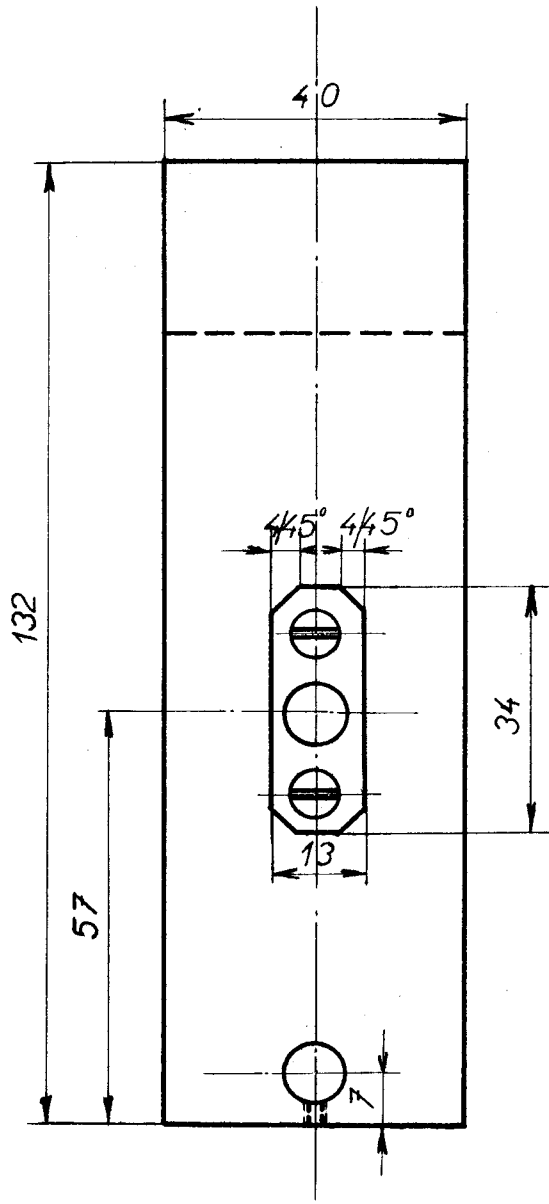
Závěr

Závěrem bych chtěl poděkovat všem, kteří mi byli při vypracování tohoto diplomního úkolu nápomocni.

Zvláště děkuji s. inž. Janu Šálkovi za jeho odborné rady, které mi kdykoliv ochotně poskytl.

Literatura

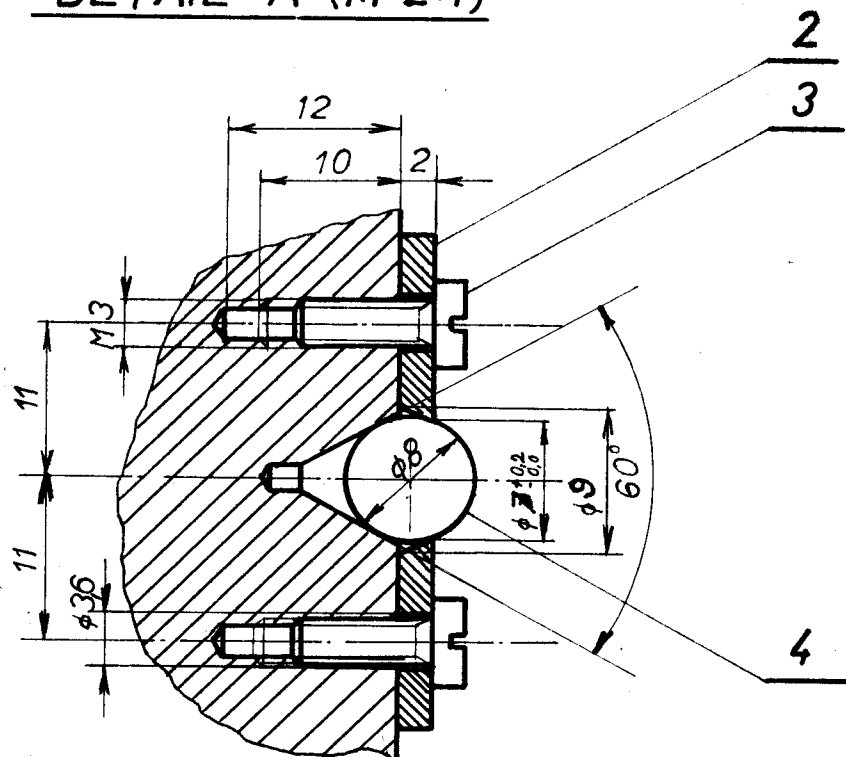
- 1/ Turičin: Elektrické měření neelektrických veličin
- 2/ Berthold: Das Messen der Schnittkräfte beim Drehen.
- 3/ Kuklin: Povyšenije pročnosti i iznosostojkosti tvjerdosplavnogo instrumenta.
- 4/ Kačmarek: Badania szybkozci obscizanija ostrza wcinajacego sie w material przy frezerowaniu czelovym.
- 5/ Šálek: Silový ráz na počátku záběru
- 6/ Preisler - Winter: Konstrukce karbidového nástroje na obrábění s přerušeným řezem.
- 7/ Šálek - Gazda: Použití slinutých karbidů na těžké řezné podmínky.
- 8/ Černohorský - Šťastný: Měření některých mechanických veličin piezoelektrickými snímači.



32 ✓

1

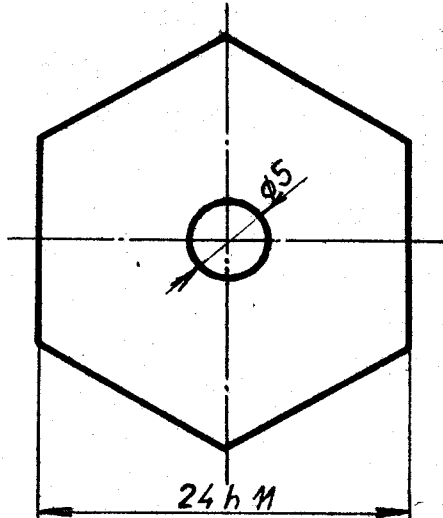
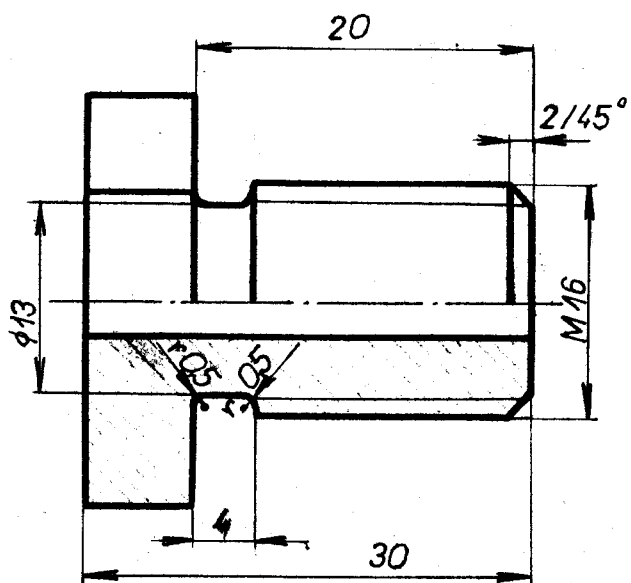
DETAIL A (M 2:1)



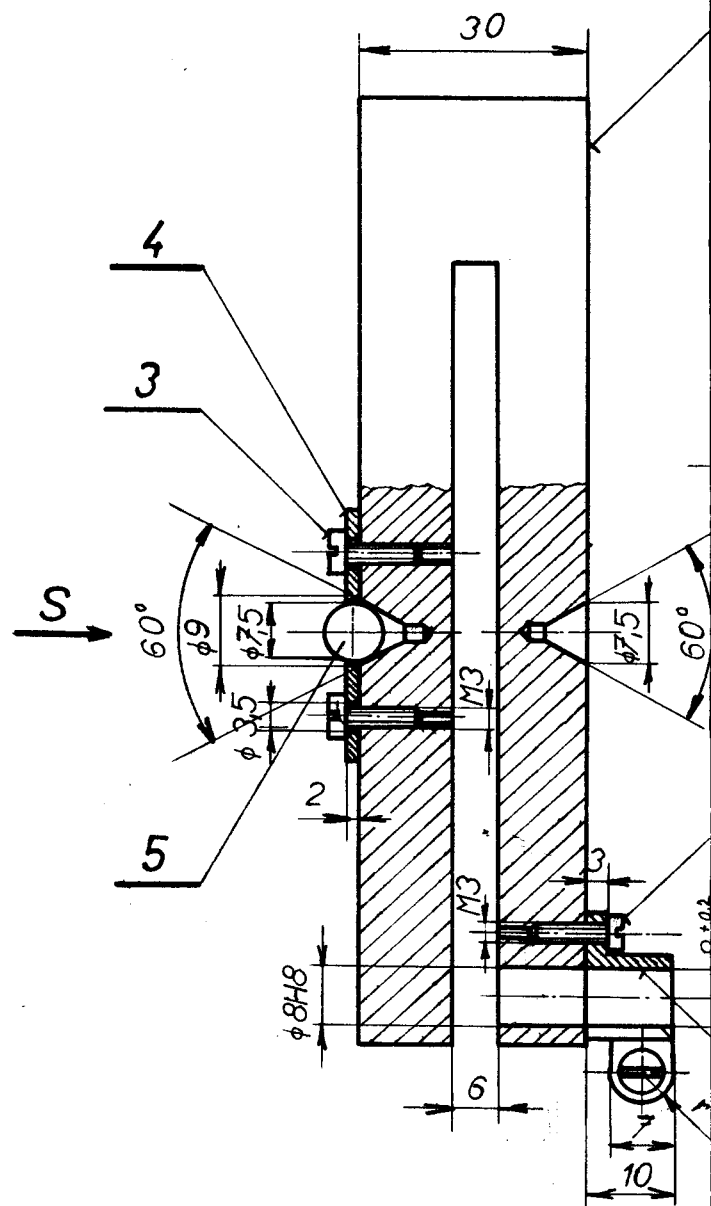
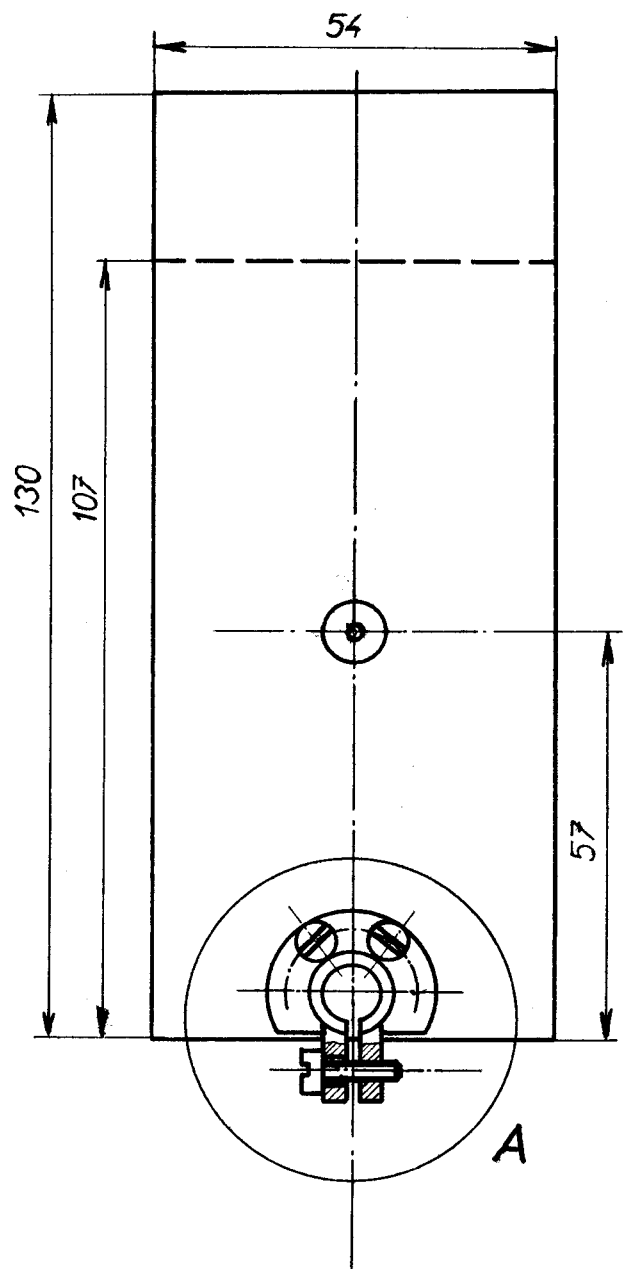
SRAZIT HRANY

4	KULÍČKA $\phi 8$			ČSN 023680	1
3	SROUB M 3 x 10			ČSN 021131	2
2	PŘILOŽKA				1
1	CEJCH. DYNAMOMETR	12060			1
O.sout.	Součástí s hlavními rozměry		Materiál	Hrubá rozměry met.	Poznámka
Měřítko:	Kreslil	Rozmí.			d
1:1	S. ZAVŘEL	Kroužek			c
12:1	Prokřížel	Datum			b
	Klesákovač	7 námk			a
					s
VYSOKÁ ŠKOLA STROJNÍ A TEXTILNÍ		Starý výkres		Nový výkres	
Katedra obrábění a organiza-					
LIBEREC		CEJCHOVNÍ		DP-ST-179/63-01	
DYNAMOMETR					
SLOZKY P _z					

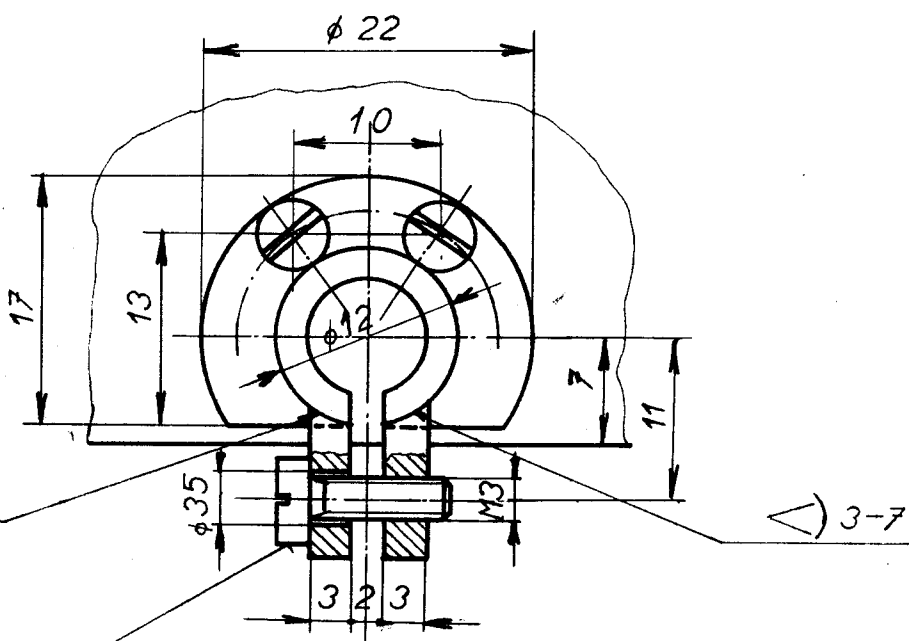
32



Cs sítí	S	D	Návrhář	Hrubé rozměry met.	Poznámka	Kusů
	024x30		11500			1
Právnické:	Kreslil		Racovský			d
	ST. ZAVREL		Franěk			c
2:1	Prohlížel		Dermus			b
	Klasifikoval		Zháněka			a
VYSOKÁ ŠKOLA STROJNÍ A TEXTILNÍ katedra obrábění a organizace LIBEREC	Název	ŠROUB K PIEZOSNIMACI	Starý výkres	Newý výkres		



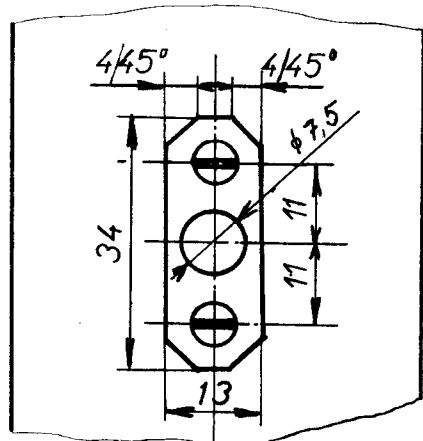
DETAIL A (M 2:1)



3

3

POHLED SMĚREM S



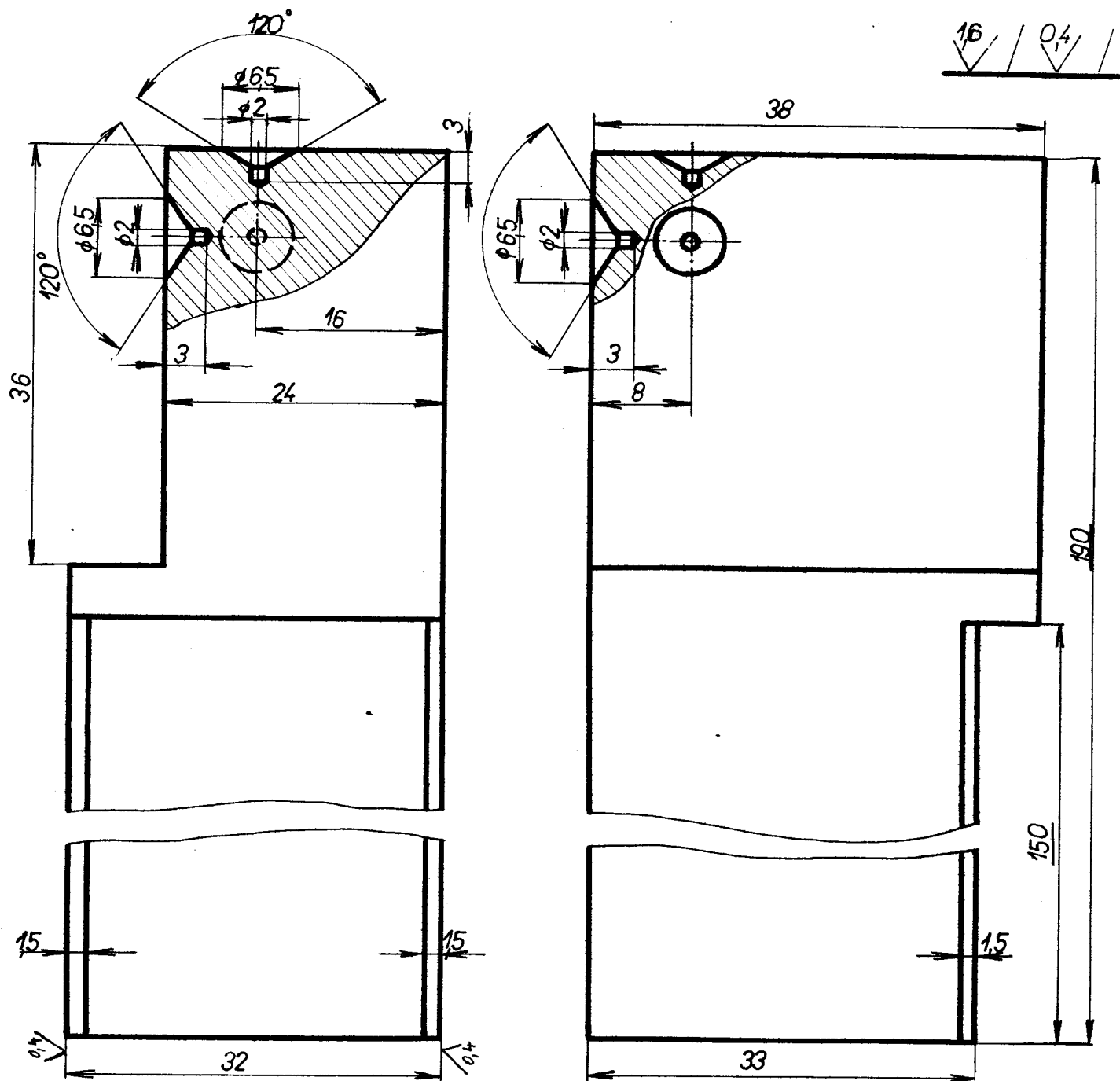
5	KULÍČKA $\varnothing 8$	ČSN 023680	1
4	PŘÍLOŽKA		1
3	SROUB M3 x 10	ČSN 021131	5
2	DRŽÁK ÚCHYLKOMÉRU	. 11 500	1
1	CEJCH. DYNAMOMETR	12060	1

Měřítko:	Firma:	Datum:	Poznámka:	Kresl.
1:1	S. ZAVŘEL			d
(2:1)				e
				f
				g

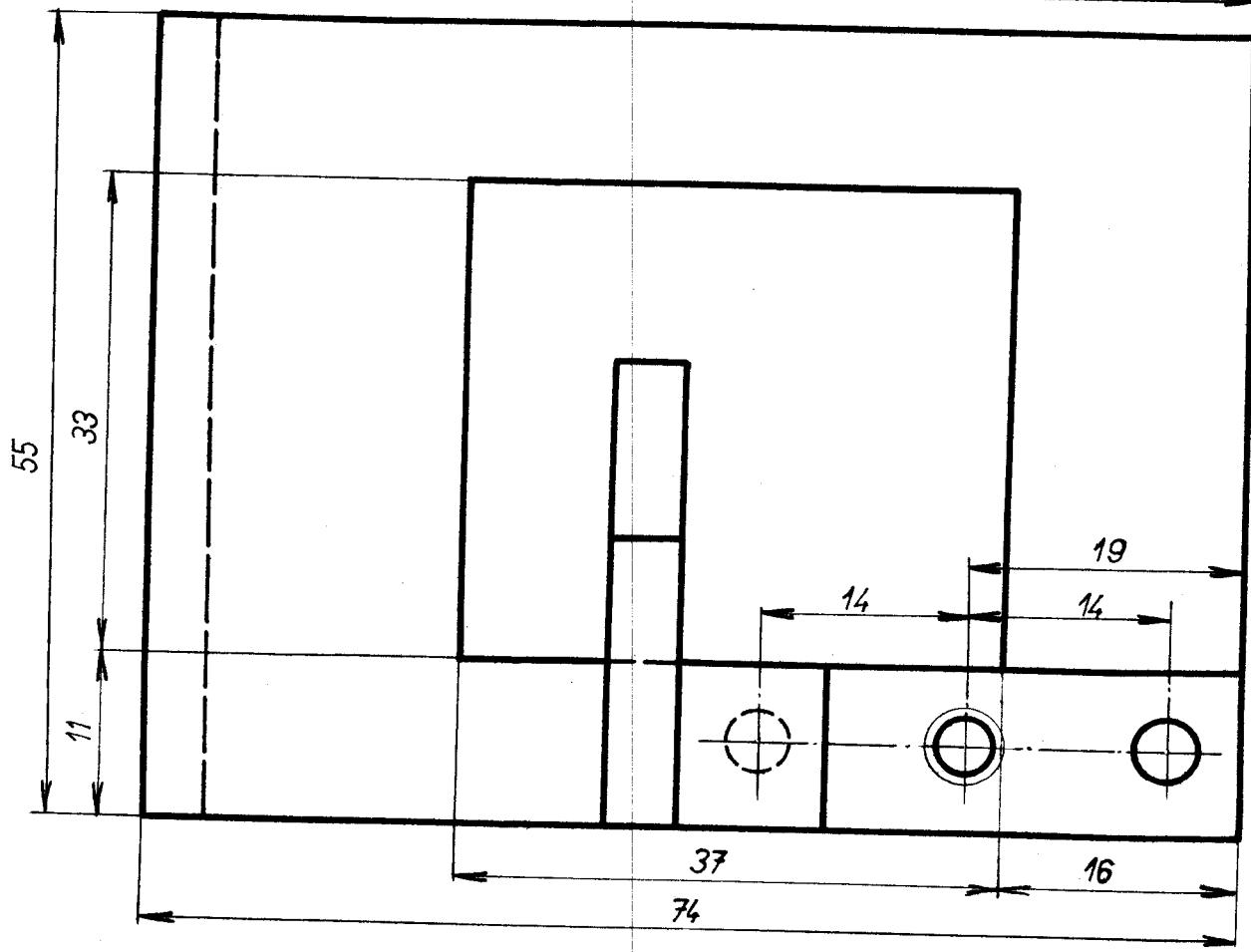
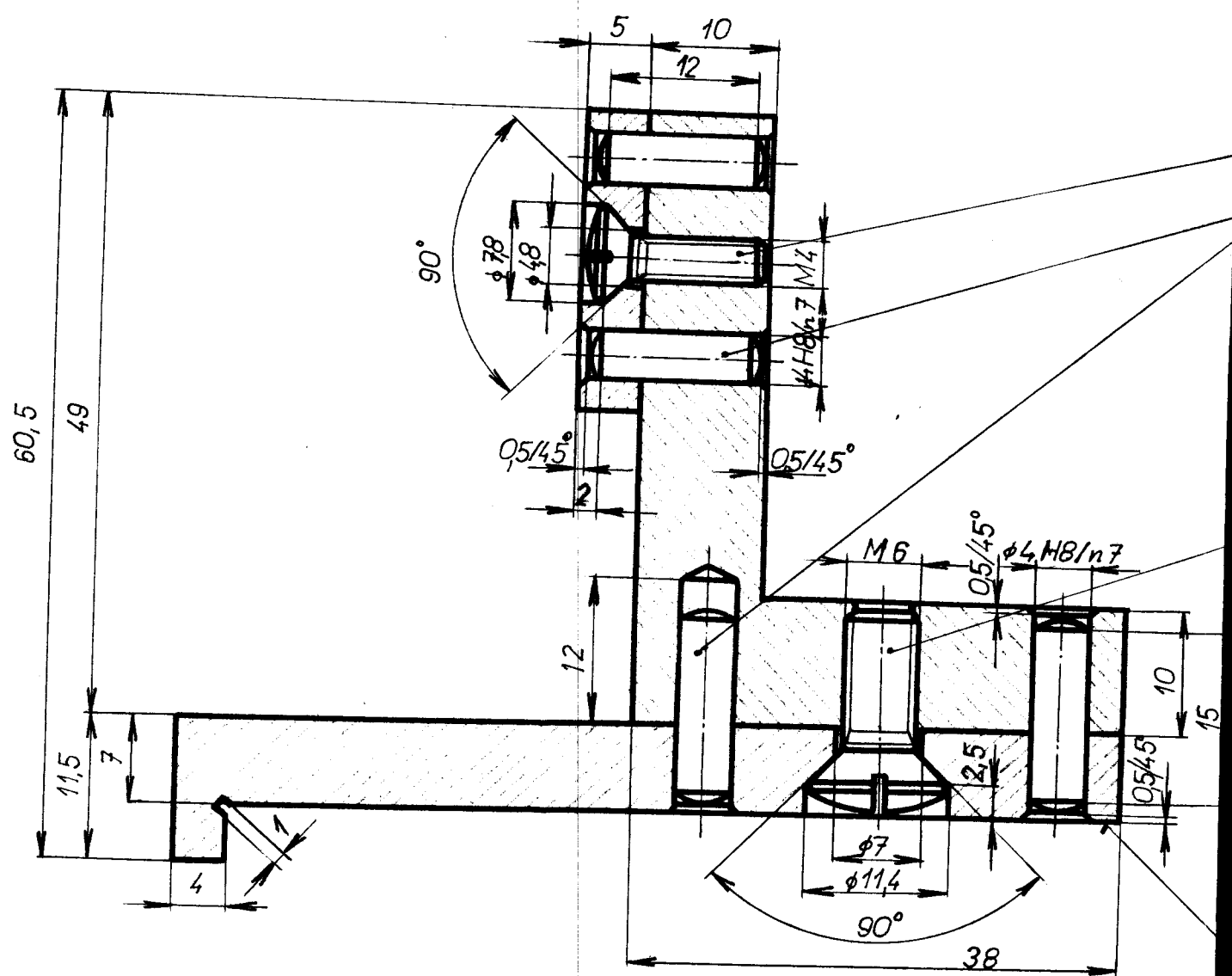
VYSOKÁ ŠKOLA STROJNÍ A TEXTILNÍ
katedra obrábění a organizace
LIBEREC

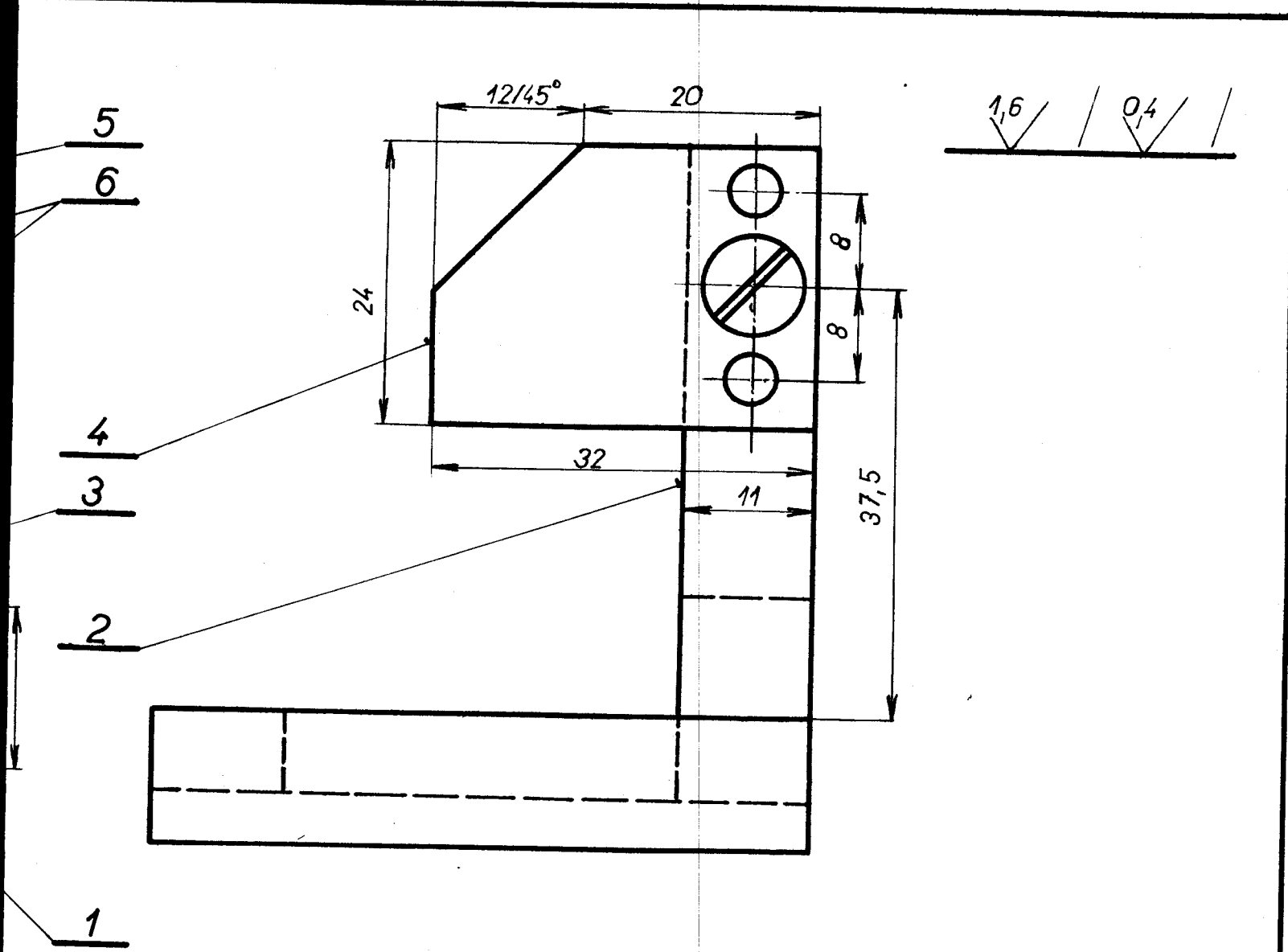
CEJCHOVNÍ
DYNAMOMETR
SLOZEK P_x, P_y

DP-ST-179/63-02



32x38x190	12 060	1
2:1		Poznámka
ST. ZAVŘEL		
VYSOKA SKOLA STROJNÍ A TEXTILNÍ katedra obrábění a organizace LIBEREC	NÁHRADNÍ NUŽ	DP-ST-179163-04





OTVORY PRO KOLÍKY VRTAT PO SESROUB.

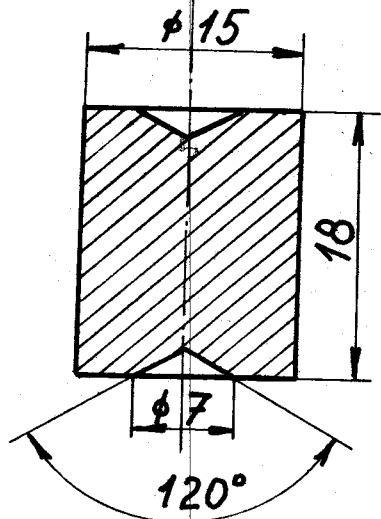
6	KOLÍK $\varnothing 4 \times 12$	11 600			4
5	ŠROUB M 4 x 12			ČSN 021158	1
4	DOTYKOVA ČAST ŠABLONY	11 600			1
3	ŠROUB M 6 x 15			ČSN 021158	1
2	RAMENO ŠABLONY	11 600			1
1	PRILOŽNA ČAST ŠABLONY	11 600			1

Měřítko:	Kreslil:	ot	Popisná	číslo
2:1	ST. ZAVŘEL			
	Pracoval:	Obrázek		

VYSOKÁ ŠKOLA STROJNÍ A TEXTILNÍ
katedra obrábění a organizace
LIBEREC

ŠABLONA

DP-ST-179/63-05



3,2 ✓

Cs. soub.	$\phi 15 \times 18$	11 500	$\phi 20 \times 20$	1
Měřítko:	Kreslil ST. ZAVŘEL	Rozmířil Dokončil Kreslil	Poznámka	Kusů
2:1	Přemízel Klasifikoval	Datum řízení	d	
			e	
			f	
			Nový výkres	

VYSOKÁ ŠKOLA STROJNÍ A TEXTILNÍ
katedra obrábění a organizace
LIBEREC

VÁLEČEK
K PIEZOSNIMACI

DP-ST-179/63-07